

الفصل الثاني

حيود الاشعة السينية في البلورات والشبكة المقلوبة

X-ray diffraction in crystals and reciprocal lattice

- 2.1 مقدمة
- 2.2 حيود البلورة
- 2.3 قانون براك
- 2.4 معادلات لاوي
- 2.5 الشبكة المقلوبة
- 2.6 البناء الهندسي لايوالد - الصيغ الاتجاهية لمعادلات الحيود
 - 2.7 مناطق برليون
 - 2.8 الطرق العملية للحيود في البلورات
- تمارين عامة محلولة
- اسئلة وتمارين عامة

الفصل الثاني

حيود الاشعة السينية في البلورات والشبكة المقلوبة

المقدمة

من خلال الملاحظات بالعين المجردة او باستعمال المجاهر البصرية يمكن لنا ان نحصل على معلومات مفيدة فيما يخص المظهر الخارجي للبلورة وربما بعض المعلومات عن طبيعة السطوح. و هذا النوع من تقصي المعرفة بشأن البلورات لا يعد كافيا إضافة الى عدم الدقة المحيط بها. ربما نسأل ما هي المشكلة مع استعمال المجهر البصري وما هي محدوداته في زيادة قوة تكبيره. يمكن لنا ومن معرفتنا ان المجاهير البصرية تستخدمن الضوء المرئي في رؤية التفاصيل الخاصة بالأجسام المنظورة من خلاله ان نكتشف قصور المجهر. ان الضوء المرئي ذو طول موجي يتراوح بشكل تقريري بين $4000\text{ }A^\circ$ الى $7000\text{ }A^\circ$ ومن هنا سيكون اصغر وحدة طول يمكن رؤيتها محدود $2000\text{ }A^\circ$ ($\lambda = 2d$)، بينما المسافات البينية بين ذرات البلورة محدود بضعة المحسنوات ($1.44\text{ }A^\circ - 5.23\text{ }A^\circ$)، لذلك يتضح الان جلياً عدم فائدة اي اشعاع يكون طوله الموجي اكبر من هذه المسافات البينية اذا اردنا ان نحصل على معلومات دقيقة وواافية عن التركيب البلوري للمواد، مثل معرفة حجم اصغر خلية بناء في البلورة او معرفة مواضع نوى الذرات والتوزيع الالكتروني داخل الخلية ومعرفة انباط اهتزاز البلورة. اذن نحن بحاجة الى استخدام شعاع ذي طول موجي مساوي او اقل قليلاً من المسافات البينية بين الذرات. وتم هذه العملية من خلال حيود هذه الاشعة عند سقوطها على البلورة. وتكون الاطوال الموجية لفوتوتونات الاشعة السينية وجسيمات اخرى (سيريد ذكرها في الفقرة اللاحقة). من مرتبة مقدار المسافات البينية بين الذرات.

تستخدم احياناً مصطلحات مثل الحيود والتشتت والاستطرارة والانعطاف في العديد من المراجع العربية وربما يكون جديراً توضيح بعض الالتباس الذي يمكن الحصول عليه من المصطلحات. ان مصطلح الاستطرارة يعني انحراف الشعاع عن مساره نتيجة تفاعله مع المادة، اي يعني تغيير اتجاه الجسيم او الفوتون عند تفاعله مع النواة او مع الالكتروني. ونعرف انه اذا فقد الجسيم او الفوتون المترافق عن مساره جزءاً من طاقته فالعملية تسمى

استطارة أو تشتت غير مرن، وإذا لم يحصل أي تغير في طاقة الجسيم او الفوتون فان العملية تسمى تشتتا او استطارة مرنة. تم عملية التشتت او الاستطاره من خلال عمليتين منفصلتين ومتلقيتين. العملية الاولى تمثل انعكاس عشوائي وتم هذه العملية عند مرور شعاع ضوئي في وسط مادي ويسقط على جسيمات صغيرة عالقة في الوسط المادي تتصرف وكأنها مرايا، مسببة انعكاسا عشوائيا بسبب توجيهها العشوائي بالنسبة لاتجاه الشعاع الساقط عليها. جدير بالذكر ان ابعد هذه الجسيمات العاكسة كبير مقارنة بالطول الموجي للشعاع الساقط. أما العملية الثانية فهي ما نسميه الحيود أو احيانا الانعطاف وتحدث هذه العملية مع جسيمات الوسط المادي الاصغر من الطول الموجي للضوء الساقط. وتتصرف هذه الجسيمات بسبب الحيود وكأنها مراكز للشعاع، تشتت الضوء في جميع الاتجاهات. هذه العملية تشبه تماماً مرور الضوء خلال شق ثم يسمح له بالسقوط على شاشة، اذ لمجد تكون عليها سلسلة من الحزم المضيئة والمظلمة، اذا كان الضوء احادي الطول الموجي، أو تكون حزمة ملونة (طيف) اذا كان الضوء ابيض. اذن ظاهرة الحيود هي حالة خاصة للتداخل وتحصل بسبب الطبيعة الموجية للضوء، ولكل الجسيمات التي ترافق حركتها موجات مثل الاليكترونات والنيوترونات. ومن هنا ايضا يمكن ان نقول ان الحيود حالة خاصة للاستطارة وهو يمثل استطارة مترابطة coherent scattering بغض النظر ان كانت مصحوبة بتغير او عدم تغير طاقة الشعاع.

2.2 حيود البلورة Crystal Diffraction

لغرض دراسة حيود بلورة علينا القيام بالتحضيرات التالية (a) عينة بالشكل الملائم (b) شعاع مناسب يسقط على العينة و (c) اجهزة لقياس موضع وشدد النهايات العظمى في نمط الحيود. ولابد من التأكيد على ان التأثيرات المرغوبة للحيود يتم الحصول عليها فقط عندما يكون الطول الموجي للشعاع الساقط من مرتبة المسافات البينية بين ذرات البلورة تحت الدراسة. ان الاطوال الموجية الاكبر تؤدي الى ظهور تأثيرات بصيرية ومن جانب اخر ايضا الاطوال الموجية الاصغر تحيد خلال زوايا صغيرة غير مناسبة. وأعتمادا على انواع الشعاع الساقط هنالك ثلاث انظمة او طرق للحيود:

1. حيود فوتونات الاشعة السينية X-Ray diffraction

الاشعة السينية هي موجات كهرومغناطيسية ذات اطوال موجية تقع بين الاشعة فوق البنفسجية واسعاعات جاما، اذ لا تزيد اطوالها الموجية عن بضعة المجرستومات،

- حيود الاشعة السينية في البلورات والشبكة المقلوبة

($0.1A^\circ - 10A^\circ$). يتم إنتاج الاشعة السينية بواسطة اصطدام الكترونات سريعة جداً بهدف معدني مثل النحاس او الكوبالت او الموليبيدينيوم او الفضة. وعند اصطدام هذه الاليكترونات السريعة بالهدف المعدني تحصل عمليتان مختلفتان واحدة منها تفضي الى تباطؤ الاليكترونات وانحرافها بسبب الشحنات النووية في ذرات الهدف، وينبعث بسبب ذلك اشعاع عبارة عن فوتونات ذات اطوال موجية مختلفة، ويسمى هذا الطيف من الاطوال الموجية المختلفة بالطيف المستمر. أما العملية الثانية، فيتم خلالها تفاعل غير مرن بين الاليكترونات الساقطة والكترونات لباب ذرات الهدف المعدني القريبة من النواة، أي بعبارة اخرى تهيج ذرات الهدف بالاليكترونات الساقطة، وتولد عن هذه العملية خطوط طيف مميزة حادة ذات شدة عالية جداً تسمى بالطيف الخطي، ويكون مركباً فوق الطيف المستمر. ان الخطوط الحادة تمثل فوتونات ذات طول موجي محدد لكل خط. ويولد الخط الحاد من انتقال الكترون من قشرة بعيدة عن النواة الى قشرة قريبة منها. على سبيل المثال، عند انتقال الكترون من القشرة L الى القشرة K يسمى الخط الحاد بخط α , واذا انتقل الاليكترون من القشرة M الى القشرة K فيسمى الخط الحاد بخط β وهكذا.. ويتم في العادة استخدام خط α من الطيف المميز.

عن تسلیط فرق جهد V عبر انود وكاثود انبوة الاشعة السينية تكتسب الالیکترونات (كل منها يحمل شحنة الالیکترون e) طاقة مقدارها Ve . وان اعظم طاقة لفوتونات الاشعة السینية الناتجة هي تلك التي فيها:

$$E = Ve = h\nu = hc / \lambda$$

أو نقول يتم الحصول على الفوتون ذي أوطاً طول موجي عندما يكون:

اذ ان $J.s^{-34}$ هو ثابت بلانك وان $c = 3 \times 10^8 m/s$ هو سرعة

الضوء ومن هنا فان:

$$\lambda = \frac{19.89 \times 10^{-26}}{E(J)} m$$

ولما كان $m = 1A^o = 10^{-10} \text{ g}$ و $J(eV) = 1.6 \times 10^{-19} \text{ A}$ ، يمكننا ان نكتب العلاقة

اعلاه بوحدات مخبرية كما يأتي:

الفصل الثاني -

$$\lambda(A^o) = \frac{12.43}{V(kV)}$$

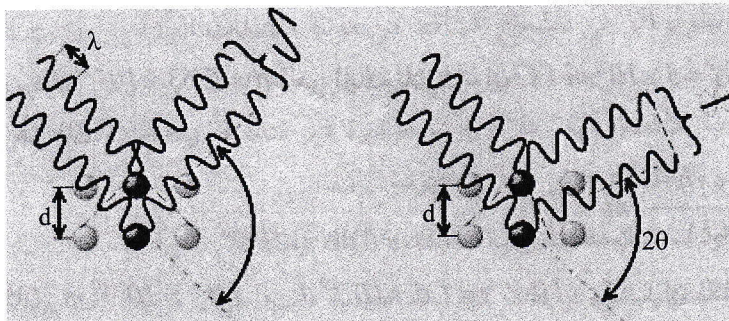
وبذلك لكي نحصل على اشعة سينية طولها الموجي IA° (وهذا الطول الموجي من مرتبة المسافات البينية بين الذرات في البلورات) يتطلب طاقة مقدارها 12.4 keV ، أو مطلوب ان نسلط فرق جهد مقداره 12.4 kilo volt عبر انود وكاثود انبوبة الاشعة السينية.

وتعتبر أنابيب الاشعة السينية التي تعمل بمحدود فروق جهد $10\text{ kV} - 50\text{ kV}$ عملية في ملاحظة تأثيرات الحيوانات ومنها طبعا دراسة التراكيب البلورية.

يتم الحصول على نمط حيود الاشعة السينية اما على ورق تصوير او يتم تسجيله بدلاًلة شدة التأين الناتجة في غرفة تاين بوساطة الاشعة السينية المستطربة.

ملاحظة

عندما تسقط الاشعة السينية احادية الموجة على ذرة، فانها تجعل الغيمة الالكترونية تتحرك مثلما تفعل أي موجة كهرومغناطيسية. ان حركة الغيمة الالكترونية هذه تجعلها تبعث امواجا لها تردد الاشعة الساقطة عليها. تعرف هذه الظاهرة بتشتت ريلات Rayleigh scattering (او التشتت المرن). تداخل مجالات الامواج المنبعثة هذه مع بعضها البعض الاخر تداخلاً بناءً او اتلافياً اعتماداً على المحرف الطور الذي يوضحه الشكل 2-1 متجهة نحط حيود يتم تحمسه اما على مجس او على فلم تصوير، ويعد نحط تداخل الامواج الناتج هو اساس تحليل الحيود.



الشكل 2-1

حيود الاشعة السينية في البلورات والشبكة المقلوبة

2. حيود النيوترونات Neutron diffraction

عام 1945 تم بناء اول جهاز لتسجيل حيود النيوترونات. وكما هو معروف ان النيوترون متعادل الشحنة ولكن يمتلك عزماً مغناطيسيّاً بسبب عدم التطابق بين مركزي الشحنة الموجة والشحنة السالبة. لذلك تكون فائدة حيود النيوترونات جليه في دراسة التركيب البلوري للبلورات المغناطيسية. في هذا النوع من البلورات يتفاعل النيوترون بسبب عزم المغناطيسي مع الاليكترونات هذه البلورات، فضلاً عن تفاعله مع نوى الذرات. اما في البلورات غير المغناطيسية فان النيوترون يتفاعل فقط مع نوى الذرات. ويتميز حيود النيوترونات عن حيود الاشعة السينية باستخدامه في اكتشاف تراكيب بعض العناصر الخفيفة مثل الهيدروجين.

يمكن الحصول على النيوترونات بالطاقة اللازمة من المفاعلات النووية وان حزمة النيوترون الحاملة للنيوترونات ذات الكتلة M وسرعة v تكون مكافئة لحزمة اشعاع (ديبروكلي) طولها الموجي يعطي بعلاقة ديروكلي:

اذ ان $E = p^2 / 2M_n v$ يمثل كمية حركة النيوترون. ولما كانت الطاقة سيمكون لدينا من العلاقة 2-3:

ولما كانت كتلة النيوترون $M_n = 1.675 \times 10^{-27} \text{ kg}$ ، وبالتعبير عن E بوحدة الاليكترون فولت eV ، يكون لدينا من المعادلة 2-4:

$$\lambda = \frac{6.63 \times 10^{-34}}{\sqrt{2(1.675 \times 10^{-27})(1.6 \times 10^{-19})E}}$$

أو بدلالة الوحدات المعملية:

الفصل الثاني -

وبذلك لكي نحصل على حزمة نيوترون طولها الموجي $1A^{\circ}$ (المطلوبة للحصول على تأثيرات الحيوان) يكون مطلوبا طاقة مقدارها $E = (0.286)^2 = 0.082 \text{ eV}$. وهذه الطاقة أقل كثيرا من تلك المطلوبة في حزمة الأشعة السينية.

تشتت النيوترونات بواسطة النوى الذريه ولما كان الطول الموجي للنيوترونات اكبر
كثيرا من ابعاد النوى المشتبه ($A^o = 10^{-5}$) يكون عامل التشتت الذري (سوف نناقشه
لاحقا) غير معتبر الى حد ما على زاوية التشتت. ولما كان تشتت الاشعة السينية يتم
بوساطة الاليكترونات (وهي طبعا اصغر كثيرا من النوى) يكون تشتت النيوترون اقوى من
تشتت الاشعة السينية. ان اغاث الحيوان تتكون بالطريقة نفسها التي للاشعة السينية.

3. حیود الکترونات Electron diffraction

إن ظاهرة حيود الاليكترونات تعد اثباتاً لنظرية ديبروكلي في وجود موجات ترافق الالكترونات. ان ما يميز الاليكترون عن الفوتون او النيوترون املاكه للشحنة وانه يتفاعل بقوه مع المواد ويخترقها الى مسافات قد تصل الى بضع مئات من الانجسترومات قبل ان يتعرض الى تشتت مرن او غير مرن. ومن هنا لا يقوم الاليكترون بدور مشابه للاشعه السينية في دراسة التراكيب البلورية، حيث للاشعة السينية قدرة اختراف عاليه مما يجعلها مناسبة لدراسة المواد الحجمية، بينما ينحصر استخدام الاليكترون في دراسة سطوح البلورات والاغشية الرقيقة.

يمكن اعتبار الاليكترونات ذات الكتلة m وتحرك بسرعة v أمواج (ديبروكلي) ذات طول موجي:

لأن $E = p^2/2m$. وإذا اكتسبت الاليكترونات طاقة E تحت تأثير فرق الجهد V يكون مقدار هذه الطاقة هو $E = Ve$, وبذلك:

ولما كانت $m = 9.11 \times 10^{-31} \text{ kg}$ يمكن ان نكتب العلاقة اعلاه:

$$\lambda = \frac{6.63 \times 10^{-34}}{\sqrt{2(9.11 \times 10^{-31})(1.6 \times 10^{-19})E}}$$

حيود الاشعة السينية في البلورات والشبكة المقلوبة

ونكتبها في الوحدات المعملية:

لكي نحصل على تأثيرات حيود يكون مطلوبا طول موجي مقداره 14° وبذلك يكون واضح من المعادلة 8-2 اننا بحاجة الى 150 فولت فقط. والان ~~هذا~~^{الآن} اجهزة حديثة تستعمل فولتية من مرتبة $50kV$ وتنتج طول موجي $0.05 A^{\circ}$ ان انماط حيود الاليكترونات مشابهة لتلك التي للاشعة السينية ويتم تفسيرها بالطريقة نفسها.

تشتت حزمة الاليكترونات بوساطة نوى الذرات وكذلك بوساطة الاليكترونات الذرية. ويتناقص عامل تشتت الاليكترونات بزيادة قيمة زاوية التشتت.

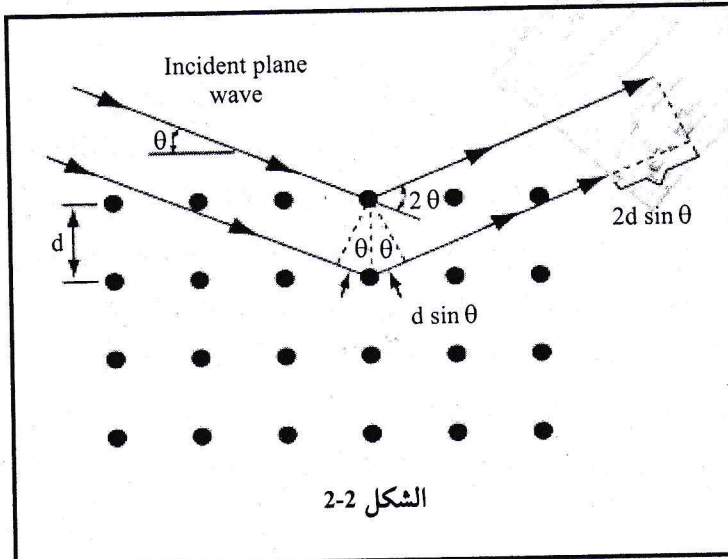
ان ما قدمناه من دراسة حول حيود النيوترونات والاليكترونات هو فقط لغرض تغطية المعلومات حول طرق الحيوان المستخدمة، وفي الواقع سندرس بالتفصيل الحيوان بوساطة الاشعة السينية.

2.3 قانون برگ Bragg's law

إن أول من اقترح استخدام البلورات كمحزر حيود للاشعة السينية هو فون لاوي وبعده قام باختبارها عملياً كل من فريدريج ونيبنك Fredrich and Knipping، ولكن صياغة حيود الاشعة السينية بواسطة البلورات التي قدمها لنا براك وولده and W.L.Bragg عام 1912 كانت بسيطة وواضحة فيزياوياً أكثر، ومنح براك وولده جائزة نوبل في الفيزياء عام 1915 لعمله في دراسة التراكيب البلورية لبعض البلورات مثل كلوريد الصوديوم والماس. وبذلك سوف نناقش معالجة براك.

تبعاً للصورة التي قدمها براك لحيود الاشعة السينية، تعكس الامواج الساقطة مراوياً (بعاً لقوانين الانعكاس) عن مستويات ذرات البلورة المتوازية. وان كل مستوى يعكس جزءاً صغيراً من الاشعاع فقط (10^{-5} to 10^{-3}) مثلما تعكسه مرآة فضفحت بشكل طفيف. ووجد ان حزم الحيود تكون قوية عندما تتدخل الانعكاسات الحاصلة من مستويات الذرات المتوازية تدالحاً بناءً. يمكن لنا ان نشتق قانون براك باعتماد مستويات شبيكة متوازية تفصل بينها مسافة d كما في الشكل 2-2. يسقط على هذه المستويات المتوازية حزمة اشعاع احادية اللون متوازية في مستوى الصفحة. سوف نستعمل مصطلح زاوية الإصابة او

الخاطفة glancing angle بدلًا عن زاوية السقوط. من الشكل 2-2 يمكن ان نكتب فرق المسار ($D.P$) بين الاشعة المنعكسة عن المستويات المجاورة كالتالي:



$$P.D = CB + BD = d \sin \theta + d \sin \theta = 2d \sin \theta$$

ويكون التداخل تدالعاً بناءً عندما يتناسب الخطأ الطور مع 2π أو بعبارة أخرى عندما يكون فرق الطور عبارة عن مضاعفات عددية صحيحة من الطول الموجي للشعاع الساقط، أي عندما تكون:

وتسمى هذه المعادلة معادلة براك. وإن هذه المعادلة مع حقيقة تساوي زاويي السقوط والانعكاس تسمى بقانون براك.

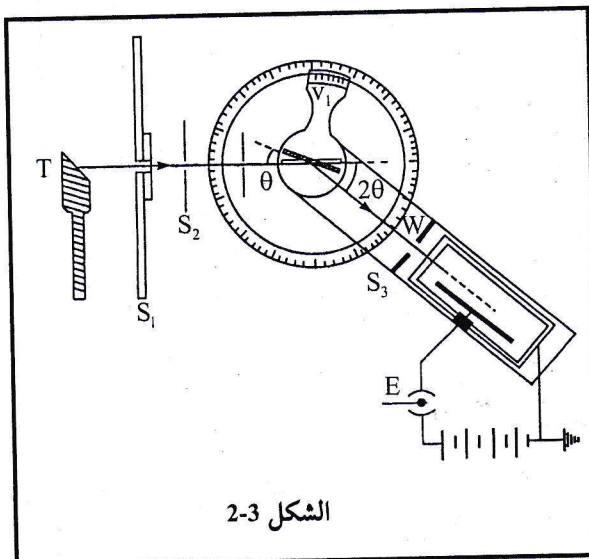
ملا حنظلة

مطلوب الانتهاء الى ان مستويات الانعكاس الموضحة في الشكل 2-2 لا علاقه لها مع سطوح المستويات التي تحيط بعينة معينة. ان قانون براك يعد نتيجة مباشرة لتكرارية الشبيكة. ان قانون براك لا يشير الى ترتيب الذرات في الاساس المصاحبة لكل نقطة شبيكة ولكن في الواقع ان الشدة النسبية لرتب الحبيبات المختلفة الناتجة من مجموعة معينة من المستويات المتوازية هي التي تحدد مكونات الاساس.

Bragg's spectrometer مطياف براك

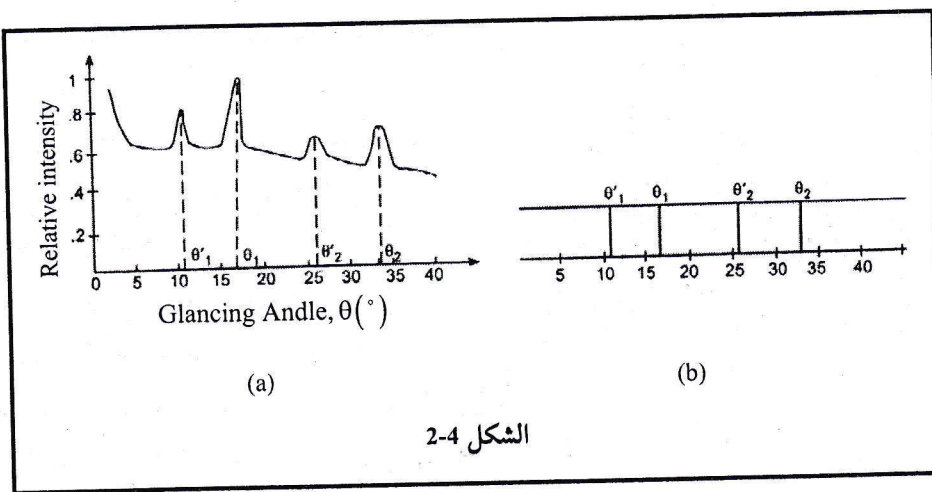
لكي ثبت قانون براك
ونستعمله للاغراض العملية قام
براك وولده بتصميم مطياف كالذى
موضح في الشكل 2-3.

يرد من هدف أنبوبة الاشعة
السينية T حزمة نحيفة من الاشعة
السينية ويتم تهيئتها لتكون
متوازية من خلال شقين S_1 و
 S_2 . تسقط هذه الحزمة على
مستويات البلورة C (hkl) التي
ثبتت على منضدة دائرية تدور



الشكل 2-3

حول محور شاقولي. ويمكن قراءة هذه المنضدة من خلال دائرة افقية ثابتة، G ومركزها مع المنضدة الدائرية التي تحمل البلورة بمساعدة قدمة ذات ورنية، V_1 . وبعد تعرض حزمة الاشعة السينية للانعكاس من البلورة تم الحزمة من خلال شق ثالث S_3 ، وتدخل غرفة تأين I خلال نافذه من الالمنيوم W . وتكون مادة التأين في الغالب بروميد الايثيل. ويتم قياس تيار التأين الناتج بوساطة حزمة الاشعة السينية بوساطة يكتروميتير E . وابداءاً تكون المنضدة الدواره بالشكل الذي يتم فيه استلام حزمة الاشعة السينية الواردة من الهدف T بوساطة الغرفة I ويكون موضع البلورة على المنضدة يرتبط بزاوية الاصابة (او الزاوية الخاطفة) $\theta = \theta$. يتم الان تدوير المنضدة وتكون البلورة عند زاوية صغيرة θ . ولغرض استلام حزمة الاشعة السينية المنعكسة يتم تدوير غرفة التأين قد دارت بزاوية 2θ عن موضعها الاولى. نقوم بتغيير قيمة الزاوية θ من الصفر بخطوات صغيرة ونسجل بكل خطوة الشدة النسبية للحزمة المنعكسة. والشكل a 2-4 يعرض رسمياً هذه الشدة النسبية بالضد من زاوية الاصابة.



ولغرض التسجيل بطريقة اخرى يتم استبدال غرفة التاين بفلم تصوير والشكل 2-4b يعرض الطيف الحاصل بهذه الطريقة. تعود الزوايا θ_1 و θ_2 الى مواضع مرتبة النهاية العظمى الاولى والثانية لطول موجي معين لخزمه الاشعة السينية الساقطة، وان مواضع θ'_1 و θ'_2 تخص مواضع طول موجي اخر λ' . ان الطول الموجي λ' مختلف عن λ بشكل طفيف.

يُستعمل مطياف براك لغرضين:

1. ايجاد الطول الموجي: توضح معادلة براك $2d \sin \theta = n\lambda$ انه في حالة معرفة الزاوية θ التي تعود لرتبة النهاية العظمى الاولى لحزمة اشعة سينية معينة يمكن حساب الطول الموجي للحزمة الساقطة شريطة معرفة d . ان العلاقة بين d و فسحة الشبيكة a معروفة ويمكن حساب فسحة الشبيكة a من الشكل الهندسي لوحدة الخلية وكثافة البلورة. على سبيل المثال: في حالة وحدة خلية مكعبية طول ضلعها a وتحتوي على n جزيئه وكثافة ρ يمكننا ان نكتب:

حجم وحدة الخلية = (عدد الجزيئات لوحدة الخلية) (كتلة كا، جزئية) علم، الكثافة.

$$a^3 = \frac{n(M / N_A)}{\rho} \quad \text{او:}$$

حيود الاشعة السينية في البلورات والشبكة المقلوبة

اذ ان M هو الوزن الجزيئي لمادة البلورة وان $N_A = 6.02214 \times 10^{23} \text{ part/mol}$ هو عدد افوكادرو (مقلوب كتلة البروتون).

2. ايجاد تركيب بلورة: يعتمد طيف الاشعة السينية الموضح في الشكل 2 على طبيعة البلورة. وبذلك يمكن استعمال هذا الطيف في دراسة تركيب البلورات المختلفة. لقد وجد من خلال شبائك برافز الاربعة عشر ان نسبة فسح الشبكة في المستويات الثلاثة (100) و (110) و (111) فريدة. على سبيل المثال، في حالة شبائك المكعب الثلاثة يتم ايجاد الفسح d_{100} و d_{110} و d_{111} بالنسبة التالية:

	d_{100}	d_{110}	d_{111}
s.c.	1	$1/\sqrt{2}$	$1/\sqrt{3}$
b.c.c.	1	$2/\sqrt{2}$	$1/\sqrt{3}$
f.c.c.	1	$1/\sqrt{2}$	$1/\sqrt{3}$

وبذلك باستعمال حزمة اشعة سينية احادية الطول الموجي ذات طول موجي λ معروف، يتم الحصول على الزوايا الخاطفة θ_1 و θ_2 و θ_3 بالنسبة لرتبة النهاية العظمى الاولى من مطیاف براک للمستويات (100) و (110) و (111) على التعاقب. ومن ثم سنجد ان معادلة براک تكتب:

$$\lambda = 2d_{100} \sin \theta_1 = 2d_{110} \sin \theta_2 = 2d_{111} \sin \theta_3$$

وبذلك سيكون لدينا:

$$d_{100} : d_{110} : d_{111} :: \frac{1}{\sin \theta_1} : \frac{1}{\sin \theta_2} : \frac{1}{\sin \theta_3}$$

وعند مقارنة النسب الملاحظة مع تلك التي نعرفها من الشكل الهندسي لشبائك برافز: في حالة بلورة $NaCl$ لدينا:

$$d_{100} : d_{110} : d_{111} :: 1 : 1/\sqrt{2} : 2/\sqrt{3}$$

بذلك تكون بلورة $NaCl$ تتكون من وحدات خلية f.c.c، والحال نفسه سنجد ان بلورة KCl تمتلك وحدة خلية s.c. لأننا سنجد عمليا ان:

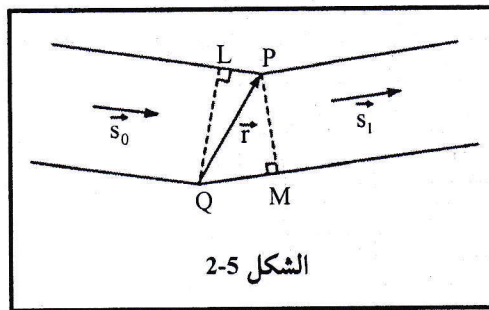
$$d_{100} : d_{110} : d_{111} :: 1 : 1/\sqrt{2} : 1/\sqrt{3}$$

ان هذا التحليل رغم انه يحدد انواع الشبيكة، ولكنه لا يوضح مواضع الايونات المختلفة. ومعرفة ان نصف ايونات بلورات KCl او $NaCl$ موجبة والنصف الآخر سالبة فالتركيب الموضح في الشكل 29-1 هو الاكثر ترجيحا.

2.4 معادلات لاوي Laue equations

اجعل حزمة اشعة سينية متوازية تسقط على بلورة باتجاه وحدة متوجه هو \vec{s}_0 وان

الحزمة المشتتة لوحظت عند نقطة بعيدة باتجاه عشوائي وحدة متوجهها \vec{s}_1 ، ولنقل ان الاشعة المشتتة بواسطة مرکزي تشتت متماثلين هما P و Q ، تفصل بينهما مسافة \vec{r} كما في الشكل 2-5. واذا كانت مسافة QM متساوية \vec{r} على اتجاهات الموجة الساقطة والمشتتة على التعاقب فان:



الشكل 2-5

$$QM = \vec{r} \cdot \vec{s}_1 \quad \text{و} \quad PL = \vec{r} \cdot \vec{s}_0$$

فرق المسارين الاشعة المشتتة عند P وتلك التي تشتت عند Q هو:

$$PD = QM - PL = \vec{r} \cdot (\vec{s}_1 - \vec{s}_0) = \vec{r} \cdot \vec{S} \quad \dots \dots \dots \quad 2-11$$

اذ ان $\vec{s}_0 - \vec{s}_1 = \vec{S}$ ويوضح في الشكل 2-6 عمودي على المستويات المتوازية المجاورة التي تقع فيها النقاط P و Q وهذه المستويات ليست الا مستويات انعكاس برأس وان الزاوية θ هي زاوية برأس. يعطى فرق المسار بين الاشعة المشتتة عند النقطتين بوساطة:

$$\varphi = \frac{2\pi}{\lambda} (PD) = \frac{2\pi}{\lambda} (\vec{r} \cdot \vec{S}) \quad \dots \dots \dots \quad 2-12$$

اذ ان λ هي الطول الموجي للأشعة الساقطة. واننا سنحصل على نهاية عظمى للحيود باتجاه \vec{S} اذا اضيفت للطور الاشعة المشتتة بهذا الاتجاه من كل ذرة في البلورة، أي تختلف بالطور بواسطة المضاعفات العددية الصحيحة الى 2π وهذا سيحدث اذا اضيفت للطور الاشعة المشتتة من ذرات اقرب الجiran التي تفصل بينها متوجهات الشبيكة الاولية $\vec{a}, \vec{b}, \vec{c}$ وستضاف اسهامات الذرات الاجرى التي تفصلها عن نقطة الاصل بمجموعات

تكاملية من هذه المتجهات الى الطور بسبب دورية ترتيب الذرات. وبذلك يجب ان يكون فرق المسار π^2 مضروباً بعدد صحيح عندما يستبدل \bar{c} في المعادلة 12-2 بواسطة \bar{a} او \bar{b} أو \bar{c} . اي:

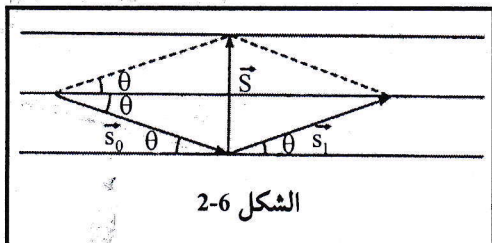
$$\frac{2\pi}{\lambda}(\vec{a} \cdot \vec{S}) = 2\pi h' = 2\pi nh$$

$$\frac{2\pi}{\lambda}(\vec{b} \cdot \vec{S}) = 2\pi k' = 2\pi nk$$

اذ ان h' و k' و l' اعداد صحيحة. لاحظ اننا استبدلنا h بوساطة nh وغيرها،

لأنه ربما تحتوي الأعداد الصحيحة h' و k' و ℓ' المعامل المشترك الأكبر n ، بحيث تكون:

$$l' = nl \text{ , } k' = nk \text{ , } h' = nh$$



الشكا

اذ ان $n = 1, 2, 3, \dots$. وان h و h' و k و k' و l هي الان ثلاث اصغر اعداد صحيحة بالنسبة نفسها كما الى h و h' و k و k' و l تكون مجموعه اعداد مشابهه الى معاملات λ مثيله .

من الشكل الهندسي للشكل 2-6 يكون مقدار:

إذا كانت الزوايا α و β و γ هي الزوايا التي يصنعها عمود التشتت \vec{c} مع محاور البلورة \vec{a} و \vec{b} و \vec{c} على التوالي:

$$\vec{a} \cdot \vec{S} = aS \cos \alpha = 2a \sin \theta \cos \alpha$$

ويكن الحصول على علاقات مشابهه بالنسبة الى \bar{S} . \bar{b} و \bar{S} . \bar{c} و تكتب المعادله

13-2 کما یا تی:

$$2a \sin \theta \cos \alpha = nh\lambda$$

$$2b \sin \theta \cos \beta = nk \lambda$$

وتسمى هذه المعادلات بمعادلات لاوي Laue equations. ولقيم معلومة للطول الموجي الساقط λ والاعداد الصحيحة h, k, l, n فالمعادلات 15-2 تعين θ واثنين من اتجاهات الجيب تمام لعمود التشتت $\cos \alpha$ و $\cos \beta$ و $\cos \gamma$. ويمكن تعين اتجاه الجيب تمام الثالث من المثلثات. على سبيل المثال في نظام الاحداثيات الرباعي $\cos^2 \alpha + \cos^2 \beta + \cos^2 \gamma = 1$ وبذلك معادلات لاوي توفر الخدمة في ايجاد قيمة θ و $\bar{\lambda}$ وتعريف اتجاه التشتت.

ان معادلات لاوي مكافئة لقانون براك وستثبت ذلك الان:

توضح المعادلات 15-2 ان اتجاهات الجيب تمام لعمود التشتت \bar{S} تتناسب مع h/a و k/b و l/c وكذلك تفعل اتجاهات جيب تمام العمود على المستويات $(hk\ell)$. ان المستويات المجاورة ذات معاملات ميلر $(hk\ell)$ تقطع المحاور \bar{a} و \bar{b} و \bar{c} عند فرات h/a و k/b و l/c . ان كل هذه الاعتبارات تثبت ان \bar{S} يماثل العمود على عائلة المستويات $(hk\ell)$. اذن يمكن اعتبار المستويات $(hk\ell)$ على انها مستويات انعكاس براك. ان معالجة لاوي بذلك تكون قد اثبتت صحة قانون براك.

اذا كانت d تمثل المسافة البينية بين المستويات في مستويات $(hk\ell)$ فاننا نعرف من المعادلات 9-1 ان:

$$d = \frac{a}{h} \cos \alpha = \frac{b}{k} \cos \beta = \frac{c}{l} \cos \gamma$$

والان من اي من المعادلات 15-2 سيكون لدينا:

$$2d \sin \theta = n\lambda$$

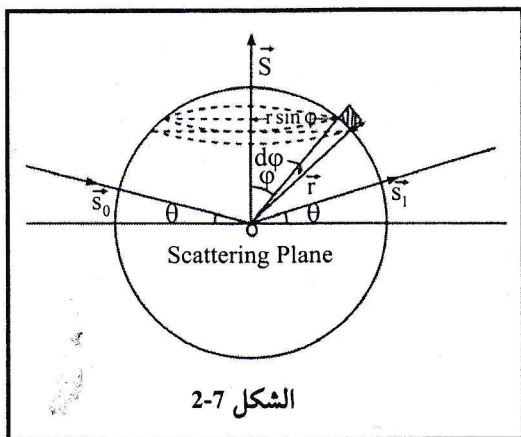
والذي هو قانون براك و ان n تمثل رتبة النهاية العظمى للحيود.

عامل التشتت الذري Atomic scattering factor

تعد معادلة براك او معادلات لاوي المكافئة لها شرطاً اساسياً لحدوث حيود مرن ومتألف للأشعة السينية من مجموعة السطوح المتوازية $(hk\ell)$. وان هذه المعادلات تحقق الحد الادنى لاحتمال الحصول على قيمة لشدة الموجة المشتتة من السطح $(hk\ell)$ ، أما مقدار تلك القيمة فقد يكون كبيراً أو متوسطاً أو صغيراً أو صفرأ (سعة أو شدة الاشعة المشتتة)، وهذا يتطلب منا تحويل الحسابات من خلال اعتماد تشتت الأشعة السينية بواسطة ذرة محددة بدلاً عن نقطة. ان الذرة المحددة التي تكون أساس الشبكة تتلوك توزيعاً مستمراً لكتافة

الإليكترون يصاحبها) (يمكننا هنا إهمال تأثيرات التشتت الصغيرة نسبياً للذري). ولما كانت الاليكترونات من أجزاء مختلفة من الغيمة المحددة لا تشتت الأشعة السينية بالطور، فإن السعة لـ إلـيكترون واحد مضروبة بـ عدد الـإليكترونات في الغـيمة وـانـما هي في الواقع سـعة إـليـكتـرون واحد مـضـرـوبـة بـ عـامـل f ، يـسمـى عـامـل التـشتـت. وبـذـلـك فـان عـامـل التـشتـت يـحـسـب لـأـبعـاد مـحدـدة لـلـذـرـة وـيتـضـمـن توـزـيع كـثـافـة إـلـيـكتـرونـون حـول الذـرـة المشـتـتة والـطـول المـوجـي لـلـأشـعـة السـينـية السـاقـطـة وزـاوـيـة الـاصـابـة. فهو يـقـيـس الكـفـاءـة التي تـشـتـت بها الذـرـة الشـعـاع السـاقـطـ، ويـكـن تعـريف عـامـل التـشتـت الذـري عـلـى أـنـه سـعة الأـشـعـة المشـتـتـة من الذـرـة عـند مـقارـنته بـسـعة تـشـتـت الأـشـعـة من إـلـيـكتـرونـون واحدـ.

لكي نستق علاقه لعامل التشتت الذري τ نأخذ سعة الأشعة المشتتة من إليكتروني



منفرد عند مركز الذرة وتلك المنشطة
بوساطة عنصر شحنة dV $\rho(\vec{r})$ عند زاوية
موضعاً في عنصر حجم dV حول النقطة \vec{r} . وان $(\vec{r}) \rho$ هو
كثافة الإلكترون. الشكل 2-7 يوضح
تشتت الأشعة السينية من غيمة إلكترون
ذرة أساس شبيكة بلورة. ان اختلاف
الطور بين الأشعة المنشطة عند المركز
وتلك المنشطة في العنصر dV عند \vec{r}
يعطى بوساطة:

يمكن ان تؤخذ سعة التشتت من نقطة الالكترون عند O باتجاه \vec{s} على انها: $Ae^{i(kx-\omega t)}$, اذ ان $k = 2\pi/\lambda$ و ان x مسافة الاحداثي عبر الاتجاه \vec{s} . وبذلك تكون سعة التشتت من عنصر الحجم dV عبر الاتجاه \vec{s} هي: $Ae^{i(kx-\omega t+\varphi_r)}\rho(\vec{r})dV$ والذى هو السعة خارج الطور بوساطة φ عن تلك بسبب الالكترون عند O مضروبة بوساطة الشحنة في العنصر. ان سعة الاشعة المشتتة بوساطة العنصر dV كمقارنتها بذلك المشتتة بوساطة نقطة الالكترون عند O تعطى بوساطة:

الفصل الثاني -

$$df = \frac{A e^{i(kx - \omega t + \varphi_r)} \rho(\vec{r}) dV}{A e^{i(kx - \omega t)}} = e^{i\varphi_r} \rho(\vec{r}) dV \dots \quad 2-17$$

وبالتكميل عبر حجم الذرة كله:

$$f = \int \rho(\vec{r}) e^{i\varphi_r} dv \quad \dots \dots \dots \quad 2-18$$

لو فرضنا ان توزيع الشحنة في الكرة متماثل كروياً، فان كثافة الشحنة ستكون دالة الى r ، أي بمعنى:

$$\rho(\vec{r}) = \rho(r)$$

النحو والصرف

$$\varphi_r = \frac{2\pi}{\lambda} r S \cos \varphi = \frac{4\pi}{\lambda} r \sin \theta \cos \varphi = \mu r \cos \varphi \dots \quad 2-19$$

$$S = 2 \sin \theta \quad \text{ذان:}$$

وبتعويض 19-2 و 20-2 في 18-2 نحصل على:

$$f = \int_V \rho(r) e^{i\mu r \cos\varphi} dV \dots \quad 2-21$$

ولكي نستمر بهذا التكامل عبر المكان كله فنختار عنصر الحجم dv على انه حلقة نصف قطرها $r \sin \phi$ وعرضها $rd\phi$ وسمكها dr كما في الشكل 7-2 والان:

$$dv = 2\pi r \sin \varphi (rd\varphi)dr = 2\pi r^2 \sin \varphi d\varphi dr$$

والمعادلة 2-21 تصبح:

$$f = \int_{r=0}^{\infty} \int_{\varphi=0}^{\pi} \rho(r) e^{i \mu r \cos \varphi} 2 \pi r^2 \sin \varphi d\varphi dr \dots \quad 2-22$$

ولا يجاد الجزء الزاوي من التكامل نضع:

$\sin \varphi d\phi = dz$ بحيث تكون $\cos \varphi = z$

حيود الاشعة السينية في البلورات والشبكة المقلوبة

$$\int_0^\pi e^{i\mu r \cos \varphi} \sin \varphi d\varphi = \int_{-l}^l e^{i\mu rz} dz = \frac{e^{i\mu r} - e^{-i\mu r}}{i\mu r} = \frac{2}{\mu r} \sin \mu r$$

وبذلك تصبح المعادلة 2-22:

$$f = 4\pi \int_0^{\infty} r^2 \rho(r) \frac{\sin \mu r}{\mu r} dr \dots \quad 2-23$$

إذا تركز كامل كثافة الشحنة عند $r = 0$ ، فإنه فقط $\mu r = 0$ ستسهم بالتكامل وفي

هذا الحد سيكون $\frac{\sin \mu r}{\mu r} = 1$ و:

$$f = \int_0^{\infty} 4\pi r^2 \rho(r) dr \dots \quad 2-24$$

ولما كانت $4\pi r^2 dr = dv$ وتمثل حجم القشرة الكروية ذات نصف قطر r وسمك dr . بذلك:

أي ان العامل f يساوي شحنة الاليلكترون الكلية في الذرة والتي تساوي بوضوح عدد الاليلكترونات في الذرة.

و بالطريقة نفسها في الاتجاه الامامي $\theta = 0$ ومن المعادلة 2-20، $\mu = 0$ و ثم من المعادلة 2-23 يكون $Z = f$.

يمكن الحصول على قيمة $r(\rho)$ و بذلك f من المعادلة 2-23 بایجاد دوال الموجة للذررة في البلورة. ويمكن الحصول على توزيع الشحنة بوساطة حسابات هارتلي - فوك Hartree-Fock أو بالنسبة للذررات ذات العدد الذري اکبر من الربديوم ribidium من

الفصل الثاني

الطريقة الاحصائية المعطاة بوساطة ثوماس وفيرمي Thomas and Fermi . عموماً فان قيم عامل التشتت الذري لمختلف الذرات كدالة الى $\sin \theta / \lambda$ منشورة على شكل جداول . لقد وجد ان قيم f التي تم الحصول عليها بهذه الطريقة للذرات الحرة تكون قريبة جداً لتلك التي بالنسبة للذرات في الجوامد حيث يحصل توزيع صغير للايلكترونات عندما تقارب الذرات الى بعضها البعض الاخر لتشكيل الجامد .

عامل التركيب الهندسي The geometrical structure factor

ان شدة الاشعة السينية المشتتة من بلورة لا تعتمد فقط على توزيع الشحنة حول الذرة (متلماً اخذناها في الحساب بدلالة عامل التشتت f) ، ولكن تعتمد كذلك على تركيب وحدة الخلية . قد لا تبرر اي تعقيدات في حالة وحدات الخلية الاولية حيث تقع الذرات عند الزوايا . ولكن تكون هنالك تعقيدات في حالة الاشعة المشتتة من بلورات ذات وحدات خلية تحتوي على اكثر من ذرة واحدة مثل وحدات خلية تراكيب $b.c.c$ و $c.c.c$ و $b.c.c$. فهنا يجب ان نأخذ بالحسبان تفاعل الحزم المشتتة بوساطة مختلف الذرات ضمن وحدة الخلية . اذا كان $(h'k'l')$ بالنسبة الى انعكاسات $(h'k'l')$ تمثل نسبة ساعات الاشعة المشتتة بوساطة كامل وحدة الخلية الى تلك التي تشتت بوساطة اليكترون نقطة عند نقطة الاصل فانه :

$$F(h'k'l') = \sum_j f_j e^{i\varphi_j} \quad \text{.....2-26}$$

اذ ان r_j عامل تشتت بالنسبة الى الذرة J^h من وحدة الخلية وان φ_j هو فرق الطور بين الاشعة المشتتة عند نقطة الاصل وتلك المشتتة من الذرة J^h من وحدة الخلية . ان عملية الجمع تتم عبر كل الذرات التي تخص وحدة الخلية . يعطى وبالعادة فرق الطور بالعلاقة $(\vec{r}_j \cdot \vec{S}) = \frac{2\pi}{\lambda} \varphi_j$ ، اذ ان r'_j يمثل متجه موضع الذرة J^h من وحدة الخلية . اذا كان الاحداثيات الموضعية الكسرية الى الذرة J^h هي (x_j, y_j, z_j) فان :

$$\vec{r}_j = x_j \vec{a} + y_j \vec{b} + z_j \vec{c}$$

$$\vec{r}_j \cdot \vec{S} = (x_j \vec{a} + y_j \vec{b} + z_j \vec{c}) \cdot \vec{S}$$

$$= \lambda (h'x_j + k'y_j + l'z_j)$$

حيود الاشعة السينية في البلورات والشبكة المقلوبة

المعادلة 2-26:

$$F(h'k'\ell') = \sum_j f_j e^{2\pi i (h'x_j + k'y_j + \ell'z_j)} \quad \dots \quad 2-27$$

عندما تكون جميع ذرات البلورة متماثلة فتمتلك جميع r_f القيمة نفسها ولنقل أنها f ،

فالمعادلة اعلاه ستكتب كما يلي:

$$S = \sum_j e^{2\pi i (h'x_j + k'y_j + \ell'z_j)} \dots \quad 2-29$$

وتعطى سعة التشتت الكلية بواسطة حاصل ضرب عامل التشتت الذري و عامل k الذي يعتمد على ترتيب الذرات ضمن وحدة الخلية ويسمى عامل التركيب الهندسي.

بالنسبة للبلورات التي لا تكون فيها جميع الذرات متماثلة فان $F(h'k'l')$ لا يكفي
فصله الى العاملين f و S . وفي مثل هذه الحالات فان $(h'k'l')F$ ومثل ما اعطي بوساطة
المعادلة 2-27 يكون بنفسه كعامل تركيب هندسي، الذي سينظم بالطبع تأثير التركيب
وكذلك تأثير الحجم المحدد للذرة.

ولما كان F عدد معقد فيمكن ان نكتبه:

$$F = \sum_j f_j \cos 2\pi(h'x_j + k'y_j + \ell'z_j)$$

$$+i\left[\sum_j f_j \sin 2\pi(h'x_j + k'y_j + l'z_j)\right]$$

وتعطى شدة الحزمة المتشتتة بوساطة:

$$I = |F|^2 = FF^*$$

$$F = \left[\sum_j f_j \cos 2\pi(h'x_j + k'y_j + \ell'z_j) \right] \\ + i \left[\sum_j f_j \sin 2\pi(h'x_j + k'y_j + \ell'z_j) \right] \quad \dots \quad 2-30$$

الفصل الثاني -

اذ ان F^* هو الم Rafiq الم عقد الى F .

و عند انعكاس خاص يتصرف بوساطة \tilde{K} ربما يحصل ان يلغى عامل التركيب بعض الانعكاسات التي تكون مسمومة لما عدا ذلك بوساطة الشبكة الفضائية. و ان هذه الانعكاسات المفقودة تساعد في تعين تركيب البلورة.

ومن خلال ما سنقوم بتفحصه من وحدات خلية مختلفة يمكن ان ندرك اهمية دراسة التركيب الهندسي في علم البلورات.

شبكة المكتب البسيط

تمتلك شبكة المكعب البسيط ذرة واحدة فقط لكل وحدة خلية وان اساس هذه الشبكة مكون من ذرات متماثلة عند $x_j = y_j = z_j = 0$. ومن المعادلة

نجد ان عامل التركيب $S = I$ وبذلك يكون لدينا:

$$F(h'k'\ell') = f \quad S = f$$

ويذلك لا تتحور السعة ومن خلاها شدة الحزمة المتشتتة في أي اتجاه مسموح بوساطة الشبكة الفضائية وكما اسلفنا. وسنحصل على جميع الخطوط في نعط الحيود التي تبدأ بها قانون براك.

شبكة المكتب مركز الجسم

متلك شبكة المكعب مركز الجسم ذرات متماثلة عند كل ركن وعند مركز جسم وحدة الخلية. ومتلك وحدة خلية $b.c.c$. ذرتين وبذلك يجب ان تمتلك قيمة S مختلفة عن 1 ان اساس تركيب $b.c.c$ يمتلك ذرات متماثلة عند $x_j = y_j = z_j = 0$ وعند $j = 1/2$ لذلك يكون الجمع في المعادلة $2-27$ محدد بقيم $x_j = y_j = z_j = 1/2$ و $j = 1/2$:

$$F(h'k'\ell') = \sum_j f_j e^{2\pi i (h'x_j + k'y_j + \ell'z_j)}$$

حيود الاشعة السينية في البلورات والشبكة المقلوبة

وبذلك:

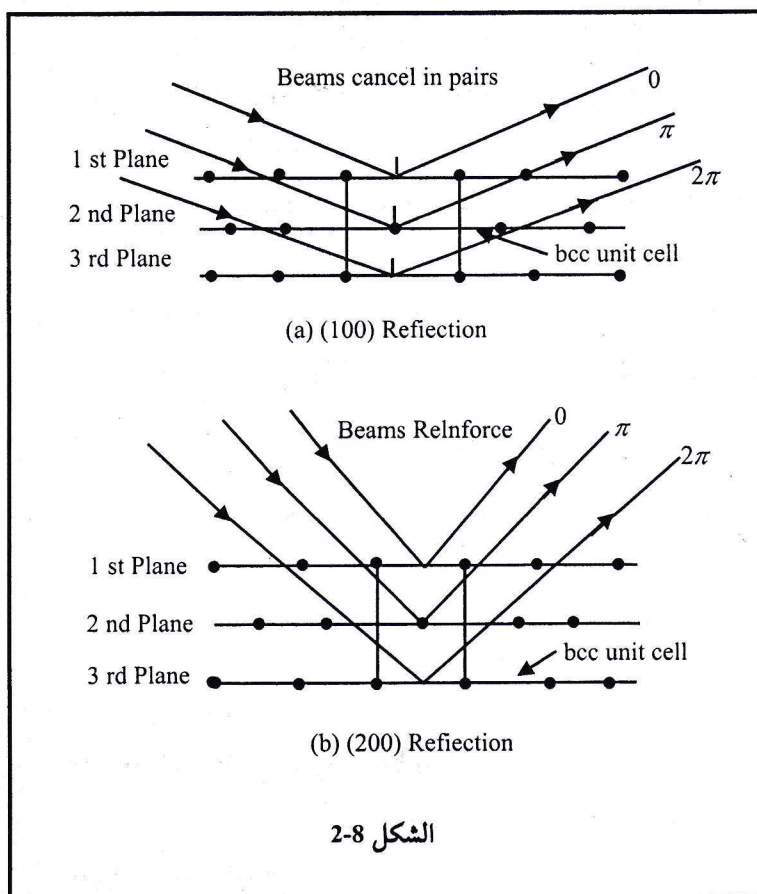
حيود. عندما يكون $(h' + k' + l') = f(I - 1) = 0$

حيود. امثلة على مثل هذه السطوح $(100), (111), (221), (300)$.

حيود. عندما يكون $F = f(I + I) = 2f$

هناك حيود ومثال لهذه السطوح $(110), (200), (222)$.

ويمكن فهمها من الشكل 2-8.



الفصل الثاني -

تحيط الخلية المكعبية في الطور بوساطة 2π . يحدث الانعكاس (100) في العادة عندما تختلف الانعكاسات من المستويات التي

هناك في شبكة المكعب المركز الجسم مستوى ذرات وسطي (رمز له في الشكل بالمستوي nd^2) والذي يساوي بقدرة التشتت المستويات الأخرى ويعطي انعكاساً يتختلف بالطور بمقدار π عن المستوى الأول وبذلك يلغى مساهمة ذلك المستوى. يحصل الانعكاس (200) (مرتبة الانعكاس الثانية) من مجموعة المستويات نفسها عندما تختلف الانعكاسات من المستويات التي تحد وحدة الخلية بالطور بواسطة π^4 . وثم يسهم المستوى الوسطي (مستوى ذرات الجسم المركز) بجزءة تختلف بالطور بمقدار π^2 عن ذلك الذي يحصل بواسطة المستوى الأول. اذن تقوي حزم المستويات الأول والثاني بعضها البعض الآخر وبذلك يكون هنالك انعكاس (200).

ويمكن توضيح حصول الحيوان على المرواء نفسه من الآسباب.

شبيكة مكعب مركز الوجه

ان شبیکه $f.c.c.$ شبیکه غیر اولیه و ان اساسها یتلاک ذرات متماثله عنده (000)

وتعطينا المعادلة 2-27: $\left(\frac{1}{2} \frac{1}{2} 0 \right) \left(1 \frac{1}{2} 0 \right) \left(0 \frac{1}{2} \frac{1}{2} \right)$

$$F(h'k'\ell') = \sum_j f_j e^{2\pi i (h'x_j + k'y_j + \ell'z_j)}$$

$$F(h'k'\ell') = f \left[1 + e^{\pi i (k'+\ell')} + e^{\pi i (h'+\ell')} e^{\pi i (h'+k')} \right] \dots \quad 2-32$$

وهذه معادلة عامة لجميع مستويات $f.c.c$.

ولكي نحل مثل هذه العلاقات نتبع الشروط التالية:

اذا كانت $(h' + k' + l')$ كلها فردية او كلها زوجية فان كل حد اسي سيعطينا 1 وسنحصل على حبود من هذه السطح

$$F(h'k'\ell') = f[1+1+1+1] = 4f$$

. (222) ، (220) ، (200) ، (131) ، (111) ومن امثلة هذه الاسطح:

حيود الاشعة السينية في البلورات والشبكة المقلوبة

اما اذا كانت $(h' + k' + \ell')$ مختلطة (زوجي + فردي) فسوف لا نحصل على حيود من هذه الاسطح وسيكون عامل التركيب:

$$F(h'k'\ell') = f[0] = 0$$

ومن امثلة هذه السطوح: (100) , (110) , (210) , (221) .

مثال 2-1

جد علاقة عامل التركيب لتركيب $NaCl$, اذا علمت ان موقع ذرات Na و Cl كالاتي:

$$Cl : 000, \frac{1}{2}0\frac{1}{2}, 0\frac{1}{2}\frac{1}{2}, \frac{1}{2}\frac{1}{2}0$$

$$Na : \frac{1}{2}\frac{1}{2}\frac{1}{2}, \frac{1}{2}00, 0\frac{1}{2}0, 00\frac{1}{2}$$

ناقش الشروط الالازمة في تحقق الحيود او عدمه.

الحل:

$$F(h'k'\ell') = \sum_j f_j e^{2\pi i (h'x_j + k'y_j + \ell'z_j)}$$

$$F(h'k'\ell') = f_{Cl} [1 + e^{\pi i (h' + \ell')} + e^{\pi i (k' + \ell')} e^{\pi i (h' + k')}]$$

$$+ f_{Na} [1 + e^{\pi i (h' + k' + \ell')} + e^{\pi i h'} + e^{\pi i k'} + e^{\pi i \ell'}]$$

$$F(h'k'\ell') = f_{Cl} [1 + e^{\pi i (h' + \ell')} + e^{\pi i (k' + \ell')} e^{\pi i (h' + k')}]$$

$$+ f_{Na} e^{\pi i (h' + k' + \ell')} [1 + e^{-\pi i (k' + \ell')} + e^{-\pi i (h' + \ell')} + e^{\pi i (h' + k')}]$$

ولما كانت $e^{n\pi i} = e^{-n\pi i}$, فان:

$$F(h'k'\ell') = f_{Cl} [1 + e^{\pi i (h' + \ell')} + e^{\pi i (k' + \ell')} e^{\pi i (h' + k')}] [f_{Cl} + f_{Na} e^{\pi i (h' + k' + \ell')}]$$

الشروط:

اذا كانت $(h'k'\ell')$ مختلطة فان:

الفصل الثاني

$$F(h'k'\ell') = 0 \text{ ولا يوجد حيود.}$$

وإذا كانت $(h'k'\ell')$ كلها زوجية او كلها فردية فان:

$$F(h'k'\ell') = 4 [f_{Cl} + f_{Na}] \text{ وهنالك حيود}$$

مثال 2-2

جد علاقة عامل التركيب لتركيب الماس وناقش شروط تحقق الحيود من عدمه اذا علمت ان ذرات الاساس للماس هي:

$$000, \frac{1}{2}, 0\frac{1}{2}, \frac{1}{2}0\frac{1}{2}, 0\frac{1}{2}\frac{1}{2}, \frac{1}{4}\frac{1}{4}\frac{1}{4}, \frac{1}{4}\frac{3}{4}\frac{3}{4}, \frac{3}{4}\frac{1}{4}\frac{3}{4}, \frac{3}{4}\frac{3}{4}\frac{3}{4}$$

الحل:

$$F(h'k'\ell') = \sum_j f_j e^{2\pi i (h'x_j + k'y_j + \ell'z_j)}$$

$$\begin{aligned} F(h'k'\ell') &= f \left[1 + e^{\pi i (h'+\ell')} + e^{\pi i (h'+\ell')} e^{\pi i (h'+k')} \right] \\ &\quad + f \left[e^{\frac{1}{2}\pi i (h'+k'+\ell')} + e^{\frac{1}{2}\pi i (h'+3k'+3\ell')} + e^{\frac{1}{2}\pi i (3h'+k'+3\ell')} + e^{\frac{1}{2}\pi i (3h'+3k'+\ell')} \right] \end{aligned}$$

نجعل القوس الثاني مشابه للأول:

$$\begin{aligned} F(h'k'\ell') &= f \left[1 + e^{\pi i (h'+\ell')} + e^{\pi i (h'+\ell')} e^{\pi i (h'+k')} \right] \\ &\quad + f e^{\frac{1}{2}\pi i (h'+k'+\ell')} \left[1 + e^{\frac{1}{2}\pi i (2k'+2\ell')} + e^{\frac{1}{2}\pi i (2h'+2\ell')} + e^{\frac{1}{2}\pi i (2h'+2k')} \right] \end{aligned}$$

$$\begin{aligned} F(h'k'\ell') &= f \left[1 + e^{\pi i (h'+\ell')} + e^{\pi i (h'+\ell')} e^{\pi i (h'+k')} \right] \\ &\quad + f e^{\frac{1}{2}\pi i (h'+k'+\ell')} \left[1 + e^{\pi i (k'+\ell')} + e^{\pi i (h'+\ell')} + e^{\pi i (h'+k')} \right] \end{aligned}$$

$$F(h'k'\ell') = f \left[1 + e^{\pi i (h'+\ell')} + e^{\pi i (h'+\ell')} e^{\pi i (h'+k')} \right] \left[1 + e^{\frac{1}{2}\pi i (h'+k'+\ell')} \right]$$

وهذا هو القانون العام لكل تركيب يشبه تركيب الماس.

- حيود الاشعة السينية في البلورات والشبكة المقلوبة

الشروط:

اذا كانت $(h'k'\ell')$ مختلطة فان:

ولا يوجد حيود $F(h'k'\ell') = 0$.

وإذا كانت $(h'k'l')$ كلها فردية فإن:

$$F(h'k'\ell') = 4f \left[I + \left(e^{\pi i (h'+k'+\ell')} \right)^{1/2} \right]$$

سيكون المقدار $-I = e^{\pi i(h'+k'+l')}$. ولما كانت الدالة الاسية مرفوعه لاس 2 / I فان مقدار القوس سيكون $\sqrt{-1}$ وهذا يمثل n او بطريقة اخرى:

$$e^{\frac{1}{2}\pi i(h'+k'+\ell')} = \cos 90^\circ + i \sin 90^\circ = 0 + i = i$$

وسيكون عامل التركيب:

$$F(h'k'l') = 4f [I + i]$$

وإذا كانت $(h'k', l')$ كلها زوجية فان الاس يمكن ان يكون زوجي ويكون عامل التركيب هو:

$$F(h'k'\ell') = 4f [1+1] = 8f$$

اما اذا كان الاس فردي فان عامل التركيب سيكون:

$$F(h'k'\ell') = 4f[0] = 0$$

ولا يوجد حيود.

2.5 الشبكة المقلوبة Reciprocal lattice

ترتبط الشبكة المقلوبة بالشبكة المباشرة بالطريقة التالية: اذا كانت \bar{a} و \bar{b} و \bar{c} هي متجهات الانتقال الاولية للشبكة الفضائية المباشرة فان متجهات الانتقال الاولية للشبكة المقلوبة \bar{a}^* و \bar{b}^* و \bar{c}^* تعرف كما يلى:

$$\vec{a}^* \cdot \vec{b} = \vec{b}^* \cdot \vec{c} = \vec{c}^* \cdot \vec{a} = 0$$

الفصل الثاني

وبدقة اكبر يمكننا تعريف شبیکة مقلوبة لشبیکة برافز نقاطها
 (اذا ان p, q, r هي اعداد صحيحة) على انها مجموعة متجهات الموجة \vec{k}
 $(= 2\pi/\lambda)$ التي تعطي امواج مستوية $e^{i\vec{k}\cdot\vec{r}}$ بتكرارية \vec{R} , أي يعني:

$$e^{i\vec{k}\cdot\vec{r}} = 1 \quad e^{i\vec{k}\cdot(\vec{r}+\vec{R})} = e^{i\vec{k}\cdot\vec{R}} \quad \dots \dots \dots \quad 2-35a$$

وتنصف الشبیکة المقلوبة بوساطة مجموعة متجهات الموجة \vec{k} التي تحقق المعادلة 2-35a
 لجميع \vec{R} . تعطى نقاط الشبیکة المقلوبة بوساطة المتجه:

$$\vec{k} = h\vec{a}^* + k\vec{b}^* + l\vec{c}^* \quad \dots \dots \dots \quad 2-35b$$

اذا ان h و k و l هي اعداد صحيحة.

لدينا من المعادلة 2-34: $\vec{a}^* \cdot \vec{a} = \vec{b}^* \cdot \vec{b} = \vec{c}^* \cdot \vec{c} = 0$ وهذا يعني ان \vec{a}^* عمودي
 على المستوى المحدد بوساطة \vec{b} و \vec{c} وموazi الى المتجه $\vec{b} \times \vec{c}$ وبذلك يمكننا ان نكتب:

$$\vec{a}^* = A(\vec{b} \times \vec{c}) \quad \dots \dots \dots \quad 2-36$$

اذا ان A ثابت عددي.

وكذلك من المعادلة 2-33 يمكننا ان نكتب:

$$\vec{a}^* \cdot \vec{a} = A(\vec{b} \times \vec{c}) \cdot \vec{a} = 1 \quad \text{أو ان:}$$

$$A = \frac{1}{\vec{a} \cdot (\vec{b} \times \vec{c})}$$

وبتعويض قيمة A في المعادلة 2-36 نحصل على:

$$\vec{a}^* = \frac{\vec{b} \times \vec{c}}{\vec{a} \cdot (\vec{b} \times \vec{c})} \quad \dots \dots \dots \quad 2-37a$$

والامر نفسه فان \vec{b}^* موazi الى $\vec{c} \times \vec{a}$ وان \vec{c}^* موazi الى $\vec{a} \times \vec{b}$ ويمكننا كتابة:

$$\vec{b}^* = \frac{\vec{c} \times \vec{a}}{\vec{a} \cdot (\vec{b} \times \vec{c})} \quad \dots \dots \dots \quad 2-37b$$

$$\vec{c}^* = \frac{\vec{a} \times \vec{b}}{\vec{a} \cdot (\vec{b} \times \vec{c})} \quad \dots \dots \dots \quad 2-37c$$

حيود الاشعة السينية في البلورات والشبكة المقلوبة

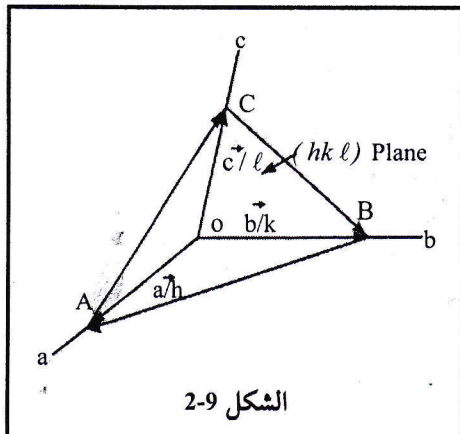
ومن هنا نجد ان الشبائك المباشرة والمقلوبة ترتبط بوساطة المعادلة 2-37 تقوم بتدوير بلورة فاننا ندور الشبكة المقلوبة وكذلك الشبكة المباشرة. تمتلك المتجهات في شبكة البلورة ابعاد (length) تلك متجهات الشبكة المقلوبة ابعاد مقلوب الطول ($^1\text{length}$). وان شبكة البلورة هي شبكة في الواقع والحقيقة او في الفضاء الاعتيادي بينما الشبكة المقلوبة هي شبكة في فضاء يدعى فضاء فوريير Fourier space. وبينما تعطى صورة البلورة بالمجهر التركيب الحقيقي للبلورة فان نمط الحيود يعد خريطة للشبكة المقلوبة للبلورة.

لقد ادخل العالم أيوالد P.P.Ewald مفهوم الشبكة المقلوبة، وهذا المفهوم يجعل التعبير عن قانون براك بسيطاً. وان ظواهر اخرى عديدة مثل سلوك الموجة الميكانيكي للاليكترونات في شبكة البلورة الدورية يمكن فهمه بشكل مباشر بدلالة الشبكة المقلوبة.

خصائص الشبكة المقلوبة

ان اهم خصائص الشبكة المقلوبة هي:

1. اذا كان هناك متجه مثل $\vec{r}^* = h'\vec{a}^* + k'\vec{b}^* + \ell'\vec{c}^*$ يمتد من نقطة الاصل الى أي نقطة شبكة من الشبكة المقلوبة فانه يكون عمودي على المستوى ($hk\ell$) في الشبكة المباشرة او الحقيقة، اذ ان h', k', ℓ' هي اعداد وهي ترتبط بالعواملات ($hk\ell$) بالشكل $n = nl, k' = nk, h' = nh$ وان $\ell' = n\ell$. عدد صحيح.



الشكل 2-9

من الشكل 2-9 يتضح ان المستوى ($hk\ell$) يقطع المحاور وكما اسلفنا سابقاً \vec{a} و \vec{b} و \vec{c} عند a/h و b/k و c/ℓ بحيث ان المتجهات:

$$\vec{BA} = \frac{\vec{a}}{h} - \frac{\vec{b}}{k}, \quad \vec{CB} = \frac{\vec{b}}{k} - \frac{\vec{c}}{\ell}, \quad \vec{AC} = -\frac{\vec{a}}{h} + \frac{\vec{c}}{\ell}$$

ولكن:

$$\begin{aligned} \vec{r}^* \cdot \left(-\frac{\vec{a}}{h} + \frac{\vec{c}}{\ell} \right) &= (h'\vec{a}^* + k'\vec{b}^* + \ell'\vec{c}^*) \cdot \left(-\frac{\vec{a}}{h} + \frac{\vec{c}}{\ell} \right) \\ &= -\frac{h'}{h} + \frac{\ell'}{\ell} = -\frac{nh}{h} + \frac{n\ell}{\ell} = -n + n = 0 \end{aligned}$$

الفصل الثاني

وبالطريقة نفسها سيكون:

$$\vec{r}^* \cdot \left(\frac{\vec{b}}{k} + \frac{\vec{c}}{\ell} \right) = 0 \quad \text{و ان} \quad \vec{r}^* \cdot \left(\frac{\vec{a}}{h} + \frac{\vec{b}}{k} \right) = 0$$

وبذلك يكون المتجه \vec{r}^* عمودي على المتجهات المستقلة الخطية \vec{AC} و \vec{CB} و \vec{BA} والتي تقع كلها في المستوى $(hk\ell)$. بذلك يجب ان يكون المتجه \vec{r}^* عمودي على المستوى $(hk\ell)$ نفسه.

2. يتناسب طول متجه الشبكة المقلوبة \vec{r}^* مع $\frac{I}{d_{hk\ell}}$

اذا كان \vec{n} وحدة المتجه العمودي على المستوى $(hk\ell)$ للشبكة المباشرة فان:

$$\vec{n} = \frac{\vec{r}^*}{r^*}$$

اذ ان \vec{r}^* كما نعرف هو متجه عمودي على المستوى $(hk\ell)$. اذا كانت $d_{hk\ell}$ هي المسافة بين مستويات $(hk\ell)$ المتغيرة يكون لدينا من المعادلة 9-2:

$$\begin{aligned} d_{hk\ell} &= \frac{\vec{a} \cdot \vec{n}}{h} = \frac{\vec{a} \cdot \vec{r}^*}{h \cdot r^*} = \vec{a} \cdot \frac{(h'\vec{a}^* + k\vec{b}^* + \ell'\vec{c}^*)}{hr^*} \\ &= \frac{h'}{h} \cdot \frac{I}{r^*} = \frac{n}{r^*} \end{aligned}$$

أي ان مقدار \vec{r}^* يعطى بوساطة:

$$r^* = \frac{n}{d_{hk\ell}} \quad \dots \dots \dots \quad 2-38$$

ونستخدم بشكل عام متجه الشبكة المقلوبة بالشكل التالي:

$$\vec{G} = 2\pi\vec{r}^* = 2\pi(h'\vec{a}^* + k\vec{b}^* + \ell'\vec{c}^*)$$

ومقداره يكون:

$$G = 2\pi r^* = \frac{2\pi n}{d_{hk\ell}} \quad \dots \dots \dots \quad 2-39$$

وان $\ell' = \ell$ و $k' = k$ او اذا كان $n = I$ او اذا كان $h' = h$ و $\ell' = \ell$.

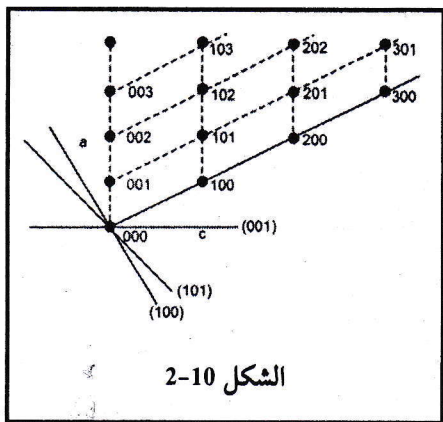
الفهم الفيزيائي للشبكة المقلوبة

نحن الان في وضع يمكن فيه ان نخطط الشبكة المقلوبة اذا اعطينا الشبكة المباشرة وان خطوات وضع النقاط في الشبكة المقلوبة هي:

1. ارسم من نقطة الاصل المشتركة اعمدة لكل مستوى من مستويات الشبكة المباشرة.
2. ضع على كل من هذه الاعمدة نقاط تعود الى كل مجموعة متوازية من السطوح عند

$$\text{مسافة تساوي } \frac{1}{d_{hkl}}, \text{ اخ من نقطة الاصل.}$$

3. ان مجموعة نقاط بهذه ستشكل شبكة مقلوبة.



وكتوضيح لهذه الخطوات نرسم شبكة مقلوبة لبلورة احادية الميل كما في الشكل 2-10. ان المحور \bar{b} للشبكة المباشرة يكون عمودي على مستوى الورقة، وان \bar{a} و \bar{c} تقع في مستوى الورقة. خذ المستويات (100) و (001) و (101) ولا كانت جميعها موازية للمحور \bar{b} فان اعمدتها تقع في مستوى الورقة. ان جميع النقاط على طول هذه الاعمدة على مسافات خاصة من $\frac{n}{d_{hkl}}$ تمثل شبكة مقلوبة للشبكة المباشرة معرفة بوساطة وحدات المتجه الاولية \bar{a} و \bar{b} و \bar{c} .

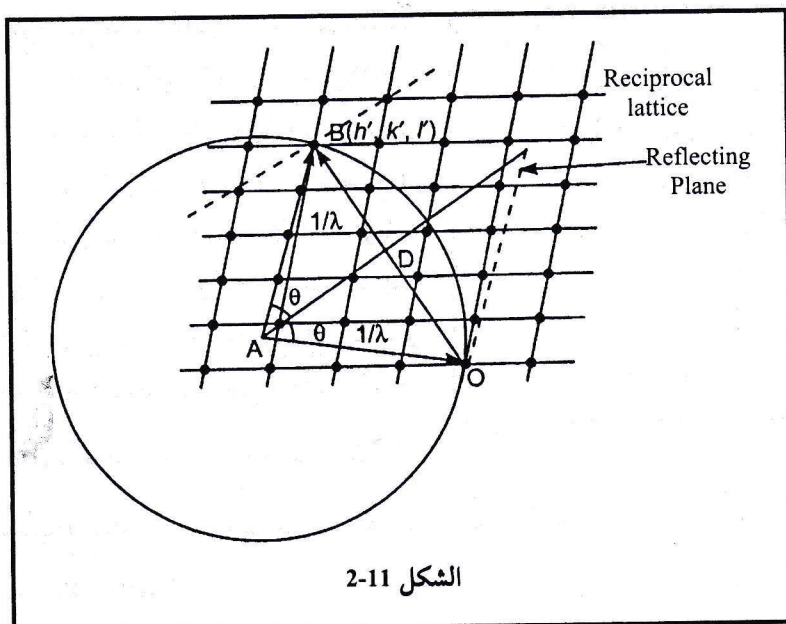
أهمية الشبكة المقلوبة

يمكن تعين توجيه مستوى بشكل تام بوساطة عموده. ولما كان طول العمود في الشبكة المقلوبة (مسافة النقطة ذات العلاقة من نقطة الاصل) يتناسب مع مقلوب المسافة بين المستويات (أي يتناسب مع $\frac{1}{d_{hkl}}$) فان طول واتجاه العمود يصف مجموعة المستويات المتوازية. وبذلك من خلال استخدام الشبكة المقلوبة يمكن تقليل مشكلة التعامل مع التوجيه النسبي لمستويات (بعدين) الى تلك التي تعامل مع اعمدة (بعد واحد) وهذا بالتأكيد سيسهل المشكلة. ويمكن تلخيص فوائد استعمال الشبكة المقلوبة على الشبكة المباشرة بما يأتي:

الفصل الثاني

1. ان مشكلة معالجة توجيه مجاميع مختلفة من مستويات بلورة في شبكة برافز تم تحويلها الى مشكلة معالجة اطوال وتوجيه الاعمدة وبذلك تكون المشكلة في ابسط حال.
2. يتم الحصول على شروط الحيود ملائمة اكبر باستعمال الشبكة المقلوبة.
3. لما كان نمط الحيود هو خارطة الشبكة المقلوبة للبلورة فان تفسير نمط حيود البلورة يكون ابسط.
4. ويكون كذلك من السهل فهم السلوك الموجة الميكانيكي للاليكترونات في شبكة بلورة دورية.

الشبكة المقلوبة وشرط براك



لما كان نمط الحيود هو خريطة الشبكة المقلوبة للبلورة مشتقة فان شرط براك والذي هو نتيجة لتشتت الاشعة عن الشبكة الدورية يجب ان يعبر عنه بدالة الشبكة المقلوبة. دعونا نمثل حزمة الاشعة السينية الساقطة بالتجه \vec{AO} بطول يساوي $1/\lambda$ ويتهي عند نقطة اصل الشبكة المقلوبة كما هو موضح في الشكل 2-2. علينا ان نلاحظ ان ذيل التجه \vec{AO} ليس بالضرورة ان يكون على نقطة شبكة. ولنجعل كرة نصف قطرها $1/\lambda$ ومركزها عند A تقطع بعض نقاط (h', k', l') للشبكة المقلوبة عند B . ومن ثم تبعاً لخصائص الشبكة

المقلوبة يجب ان يكون المتجه \vec{OB} من نقطة الاصل الى النقطة (h', k', l') عموديا على المستوى $(hk\ell)$ للشبكة المباشرة ويملك الطول n/d (هنا n هي العامل المشترك الافضل للاعداد h', k', l' وان d هي المسافة البينية بين المستويات في الشبكة المباشرة. من هندسة الشكل 2-11 لدينا:

$$OB = OD + DB = \frac{1}{\lambda} \sin \theta + \frac{1}{\lambda} \sin \theta = \frac{2 \sin \theta}{\lambda}$$

وبذلك يمكننا ان نكتب:

$$\frac{2 \sin \theta}{\lambda} = \frac{n}{d} \quad \text{أو ان نكتبه بالصورة } 2d \sin \theta = n\lambda$$

والتي هي شرط براك.

ان رابط المتجهات المختلفة والزاوية θ في الشكل 2-11 مع عناصر معادلة براك يمكن فهمه بسهولة اذا نقلنا المتجه \vec{AB} موازيا لنفسه حتى يستقر ذيله فوق نقطة O وبعد ذلك سنرى ان \vec{AO} و \vec{AB} و \vec{OB} تمثل اتجاهات الحزمة الساقطة والحزمة المتشتدة وعمود التشتت على التعاقب. ومن الواضح فان AD او اي خط موازي له من النقطة O او B يجب ان يمثل مقطع مستوى الانعكاس وان الزاوية θ ليست الا زاوية براك.

نستنتج من هندسة الشكل 2-11 ما يأتي:

1. هنالك انعكاس براك بالنسبة الى كل تقاطع للشبكة المقلوبة بوساطة الكرة ذات نصف القطر $1/\lambda$ المرسوم حول A . وان زاوية براك المناسبة تعطى في كل حالة بوساطة الزاوية بين المتجه \vec{AO} ومستوى عمودي على OB .

2. وبالمقابل لن يتشتت طول موجي λ بوساطة البلورة باتجاه معين اذا لم يقطع نصف قطر الكرة $1/\lambda$ والمركز عند A اي من نقاط الشبكة المقلوبة. وهذه الحقيقة تستعمل احيانا في فحص مختلف التوجيهات الممكنة للبلورة التي يتحقق فيها شرط براك.

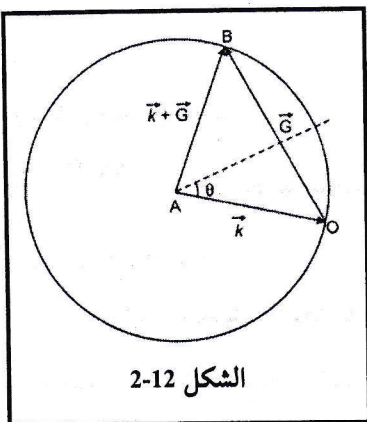
3. لا يحدث حيود اشعة سينية في شبكة ذات ثابت شبكة a ، اذا كانت $2a > \lambda$. واذا كان نصف القطر $\frac{1}{2\lambda} < \frac{1}{\lambda}$ فلا يمكن للدائرة ان تقطع اي نقطة من نقاط الشبكة المقلوبة وبذلك لن يكون هنالك انعكاس براك.

الفصل الثاني -

4. كلما كان المتجه \vec{AO} اطول (أي طول موجي λ اقصر) تكون الفرصة بالنسبة للكرة لان تقطع نقطة من نقاط الشبكة المقلوبة اكبر وبذلك تكون فرصة الحيواد اعظم.

2.6 البناء الهندسي لا يوالد- الصيغ الاتجاهية لمعادلات الحيدود

Ewald construction- vector forms of diffraction equations



اقتراح ايوالد Ewald بناءً هندسياً تبعاً له يمكن اعادة رسم متجهات الشكل 11-2 كما تبدو في الشكل 12-12 بمقاييس تم تكبيره بوساطة عامل مقداره π ، أي تم رسم متجه \bar{k} بالمقدار π/λ باتجاه حزمة الاشعة السينية الساقطة التي تنتهي عند نقطة الاصل O للشبكة المقلوبة. وثم رسمت كرة نصف قطرها $|\bar{k}|$ مركزها عند A . لقطع الكرة نقطة معينة $B(h', k', l')$ من نقاط الشبكة المقلوبة ثم سيعطى

المتجه \vec{OB} الذي رمز له بالرمز \vec{G} بوساطة:

$$\vec{G} = 2\pi \left(h\vec{a}^* + k\vec{b}^* + \ell'\vec{c}^* \right) \dots \quad 2-40$$

ويتضح انه عمودي على المستوى $(hk\ell)$ ويملك طول $2\pi n/d$ (اذ ان n هو العامل المشترك الاعظم للاعداد h', k', ℓ' وان d هي المسافة بين المستويات المجاورة $(hk\ell)$).

معادلة براك

من خلال ترتيب المتجهات في الشكل 12-2 يجدو ان المتجه \vec{AB} يجب ان يمثل المتجه $\vec{G} + \vec{k}$ ومقداره يجب ان يساوي مقدار \vec{k} حيثما تحقق شرط براك. أي معنى اننا يمكن ان نكتب:

$$(\vec{k} + \vec{G})^2 = \vec{k}^2$$

۹۰:

وهذه هي الصيغة الاتجاهية لمعادلة براك.

اذا رمزنا لمتجه الموجة المشتتة \vec{AB} بالرمز \vec{k}' فان:

وهذا يبيّن ان التشتت يغيّر فقط اتجاه الحزمة الساقطة وان اتجاه الموجة المشتتة مختلف عن الموجة الساقطة بوساطة متوجه الشبكة المقلوبة \vec{G} وهذا ليس الا حالة تشتت مرن.

معادلات لاوي

لدينا من بناء ايوالد في الشكل 2-12:

$$\vec{k}' - \vec{k} = \Delta\vec{k} = \vec{G} \quad \dots \quad 2-42$$

ان حاصل الضرب العددي للطرفين بوساطة متوجه الشبكة الاولية \vec{a} لشبكة البلورة يعطينا:

$$\begin{aligned} \vec{a} \cdot \Delta\vec{k} &= \vec{a} \cdot \vec{G} = \vec{a} \cdot [2\pi(h\vec{a}^* + k\vec{b}^* + \ell\vec{c}^*)] \\ &= 2\pi(h\vec{a} \cdot \vec{a}^* + k\vec{a} \cdot \vec{b}^* + \ell\vec{a} \cdot \vec{c}^*) \end{aligned}$$

ولكن من تعريف معاملات الشبكة المقلوبة في المعادلة 2-33 و 2-34 لدينا:

$$\vec{a} \cdot \vec{b}^* = \vec{a} \cdot \vec{c}^* = 0 \quad \text{و} \quad \vec{a} \cdot \vec{a}^* = I$$

اذن:

$$\vec{a} \cdot \Delta\vec{k} = 2\pi h \quad \dots \quad 2-43a$$

وبالطريقة نفسها يمكن ان نكتب:

$$\vec{b} \cdot \Delta\vec{k} = 2\pi k \quad \dots \quad 2-43b$$

$$\vec{c} \cdot \Delta\vec{k} = 2\pi \ell \quad \dots \quad 2-43b$$

وتمثل هذه المعادلات الثلاثة الصيغة الاتجاهية لمعادلات لاوي.

من الناحية التحليلية فان $\vec{a} \cdot \Delta\vec{k} = 2\pi h$ تمثل ان $\Delta\vec{k}$ يقع على مخروط حول اتجاه \vec{a} والامر نفسه تخبرنا العلاقتين الباقيتين من ان $\Delta\vec{k}$ يقع على مخروط حول اتجاه \vec{b} وان $\Delta\vec{k}$ يقع على مخروط حول \vec{c} . في حالة الابعاد الثلاثة فان $\Delta\vec{k}$ عند الانعكاس يجب ان يحقق المعادلات الثلاثة آنياً وان مثل هذا التطابق ممكن الحصول عندما تقسم المخاريط

الفصل الثاني

الثلاثة شعاعاً مشتركاً ولغرض الوصول مثل هذا التطابق علينا بالمسح المستمر بالطول الموجي او من خلال توجيه البلورة.

مناطق برليون 2.7 Brillouin zones

تعد مناطق بربولون (Brillouin zone) ذات اهمية خاصة في فيزياء الجوامد ورغم انه من الناحية التاريخية تعد مناطق بربوليون جزءاً من تحليل حيود الاشعة السينية الا ان هذه المناطق تعد كذلك جزءاً اساسياً من تحليل تركيب طاقة - رابطة الاليكترون للبلورات. ان مناطق بربوليون هي الحجم المشغول كلياً بالمستويات بالشكل الذي يكون فيه كل متوجه موجة \tilde{k} ($2\pi/\lambda$) من نقطة الاصل الى أي من هذه المستويات هو انعكاس برراك. تتشتت حزمة اشعة سينية ساقطة على بلورة اذا حقق متوجه موجتها \tilde{k} شرط برراك $(2\tilde{k} \cdot \vec{G} + \vec{G}^2 = 0)$.

$$\vec{k} \cdot \left(\frac{1}{2} \vec{G} \right) + \left(\frac{1}{2} \vec{G} \right)^2 = 0 \quad \dots \dots \dots \quad 2-44$$

تقترح هذه العلاقة ان أي مستوى عمودي على متجه الشبكة المقلوبة \tilde{G} وعند نقطة الوسط يشكل جزءا من حد المنطقة. اذا نظرنا الى الشكل 1-4 الذي يعطي خلية وينر - يتز الاولية للشبكة المباشرة فيه حاولنا ان نعرف منطقة بربليون بانها خلية وينر - سيتز في الشبكة المقلوبة.

يظهر بناء برليون كل متجهات الموجة الساقطة \vec{k} التي يمكن ان تكون انعكاس براك بوساطة البلوره. ولكي نبني ، لنقل ، منطقة برليون الاولى لشبيكة معينة فعلينا ان نأخذ مستويات عمودية على هذه المتجهات عند نقاطها الوسطية وان اصغر حجم نحصل عليه يكون هو منطقة برليون الاولى. يمكننا تعريف منطقة برليون الاولى بانها اصغر حجم محصور كليا بمستويات تكون قواطع منصفة عمودية لمتجهات الشبيكة المقلوبة المرسومة من نقطة الاصل. ان حد منطقة برليون الذي يمثل بطريقه ما مكان قيم \vec{k} التي يحصل عندها انعكاس براك يمكن اعتباره سطح عاكس. ويتمثل حد المنطقة الاولى السطح العاكس لرتبة الانعكاس الاولى ويتمثل حد المنطقة الثانية السطح العاكس لرتبة الانعكاس الثانية، وهكذا.. وجدير بالإشارة ان أي متجه \vec{k} يتنهي قبل او بعد حد المنطقة لا يعطي انعكاس براك. ومن هنا يمكن استعمال نمط مناطق برليون لايجاد نمط حيود الاشعة السينية بللوره والعكس صحيح ايضا.

٤- حيود الاشعة السينية في البلورات والشبكة المقلوبة

مناطق برليون لشبكة خطية

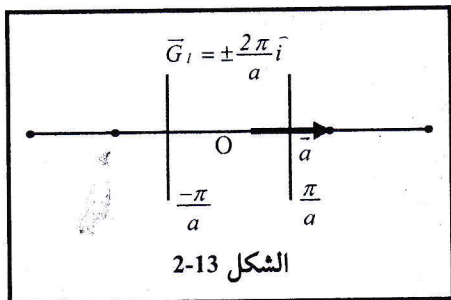
يتضح انه بالنسبة لشبكة خطية تكون منطقة برليون الاصغر طول (ليست حجماً؟) محصور بوساطة قواطع منصفة عمودية لمتجهات الشبكة المقلوبة من نقطة الاصل. وبالنسبة لشبكة خطية ذات ذات شبكة a لدينا:

$$\vec{a} = a \hat{i}$$

وان متوجه الشبكة المقلوبة الاولى هو:

$$\vec{a}^* = \frac{1}{a} \hat{i}$$

ويعطي المتجه $\vec{G} = 2\pi(h\vec{a}^* + k\vec{b}^* + l'\vec{c}^*)$ من العلاقة بوساطة:



والأصغر قيمة \bar{G} ، وبذلك تكون منطقة بـ ١٠٦ ملليون محددة بواسطة القواطع المنصفة العمودية لـ \bar{G} . أي أن الطول بين $\frac{\pi}{a}$ و $\frac{\pi}{a}$ يمثل منطقة بـ ١٠٦ ملليون كما موضح في الشكل ٢-١٣. وتعطى القيمة الأصغر اللاحقة لـ \bar{G} بواسطة $h = \pm 2$. وبذلك تتحدد منطقة بـ ١٠٦ ملليون

الثانية بوساطة الاعمدة عند $\frac{2\pi}{a}$ و $\frac{\pi}{a}$ بالاتجاه الامامي وتلك التي عند $-\frac{2\pi}{a}$ و $-\frac{\pi}{a}$ في الاتجاه الخلفي. وبالطريقة نفسها يمكننا تعريف رتب مناطق اعلى.

مناطق برلين بالنسبة لشبكة مريعة

تمثل الشبكة المربعة بلوره بمتوجهاتها الانتقالية الاولية كما يأتي:

$$\vec{a} = a \hat{i}, \vec{b} = b \hat{j}$$

اذ ان a هو ثابت الشبيكة. وان متجهات الشبيكة المقلوبة الاوليه لها هي:

$$\vec{a}^* = \frac{1}{q} \hat{i} \quad , \quad \vec{b}^* = \frac{1}{q} \hat{j}$$

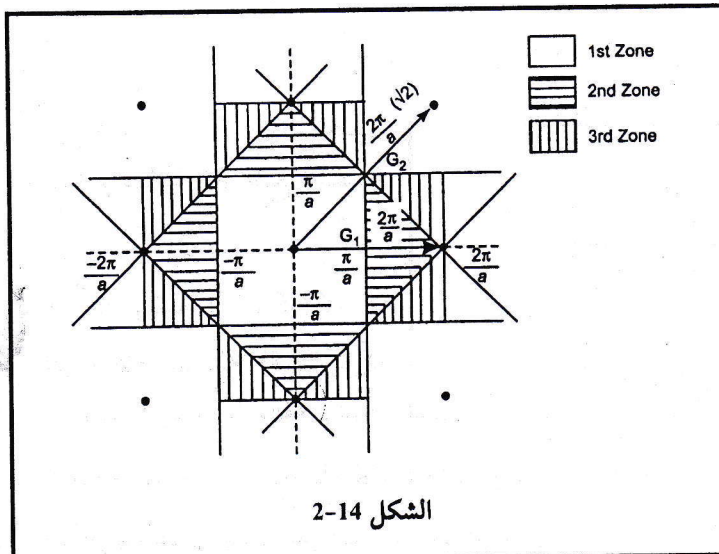
الفصل الثاني .

ونلاحظ ان الشبيكة المقلوبة هي نفسها شبيكة مربعة ثابت شبيكة $\frac{1}{a}$. يعطى متوجه الشبيكة المقلوبة بذلك بوساطة:

وإن أصغر قيمة لمتجهات \vec{G} تعطى بوساطة:

$$\vec{G} = \frac{2\pi}{a} (\pm \hat{i} + \pm \hat{j})$$

ان منطقة بـ ١٠٠ مليون لـ ٣٠٠ مليون هي شبيكة مربعة محاطة بـ خطوط عمودية على متجهات الشبكة المقلوبة \hat{i} , \hat{j} و \hat{k} و نقاطها الوسطية هي $\hat{i} + \frac{2\pi}{a}$, $\hat{j} + \frac{2\pi}{a}$, $\hat{k} + \frac{\pi}{a}$.



والشيء نفسه المساحة الإضافية المظللة في الشكل 14-2 المحاطة بوساطة خطوط عمودية على متجهات اربعة مقدار كل منها $(\sqrt{2}) \frac{2\pi}{a}$ عند متصفحاتها $\left(\frac{\pi}{a}\right)$ تمثل المنطقة الثانية وان المنطقة الثانية تمتلك مساحة المنطقة الاولى نفسها. ان مقاطع المثلثات الاربعة كلها مع بعض تسد مربع المنطقة الاولى. وهذا يسري على حالة المنطقة الثالثة.

حيود الاشعة السينية في البلورات والشبكة المقلوبة

وفضلاً عن ذلك فإن منطقة بربليون الخاصة بشبكة معينة يمكن أن يتم الحصول عليها كما يلي: يتم التعبير عن متوجه موجة حزمة الأشعة السينية بالشكل:

$$\vec{k} = k_x \hat{i} + k_y \hat{j}$$

ويعطينا شرط براک (

$$2 \left(k_x \hat{i} + k_y \hat{j} \right) \cdot \left[\frac{2\pi}{a} (\hat{hi} + \hat{kj}) \right] + \frac{4\pi^2}{a^2} (\hat{hi} + \hat{kj})^2 = 0$$

۹۰:

$$hk_x + hk_y = -\frac{\pi}{a} (h^2 + k^2)$$

ويأخذ كل الاشكال الممكنة الى h و k يمكننا الحصول على قيمة \bar{k} التي هي نعكاس برakash.

وبذلك، بالنسبة لمنطقة بـ ١٠٠ مليون لدنا مربع محاط بالخطوط $k_y = \pm \frac{\pi}{a}$ و $k_x = \pm \frac{\pi}{a}$

والشيء نفسه فالمنطقة الاضافية التي تحدد بوساطة $\pm k_y = \frac{2\pi}{a}$ و $\pm k_x = \frac{2\pi}{a}$ تكون هي منطقة بربليون الثانية.

منطقة بليون لشبكة مكتب بسيط

ان متجهات الشبكة الاولية لشبكة المكعب البسيط هي:

$$\vec{a} = a \hat{i} \quad , \quad \vec{b} = b \hat{j} \quad , \quad \vec{c} = c \hat{k}$$

وان متوجهات الشبكة المقلوبة التي تعود لها هي:

$$\vec{a}^* = \frac{1}{a} \hat{i} \quad , \quad \vec{b}^* = \frac{1}{a} \hat{j} \quad , \quad \vec{c}^* = \frac{1}{a} \hat{k}$$

وان متوجه الشبيكه المقلوبة هو:

$$\vec{G} = \frac{2\pi}{a} \left(h \hat{i} + k \hat{j} + \ell \hat{k} \right) \dots \quad 2-47$$

وبتعويض قيمة \tilde{G} هذه ولدينا:

$$\vec{k} = k_x \hat{i} + k_y \hat{j} + k_z \hat{k}$$

وشرط براك يكون لدينا:

$$2 \left(k_x \hat{i} + k_y \hat{j} \right) \cdot \left[\frac{2\pi}{a} \left(h\hat{i} + k\hat{j} + \ell\hat{k} \right) \right] + \frac{4\pi^2}{a^2} \left(h\hat{i} + k\hat{j} + \ell\hat{k} \right)^2 = 0$$

۱۰۹

$$hk_x + hk_y + \ell k_z = -\frac{\pi}{a} (h^2 + k^2 + \ell^2) \dots \quad 2-48$$

ويوضح ان المنطقة الاولى للشبيكة المكعبية هي مكعب تكون حدوده من مستويات ستة عمودية على ست متجهات شبيكة مقلوبة هي $\pm \frac{2\pi}{a} \hat{i}$ و $\pm \frac{2\pi}{a} \hat{j}$ و $\pm \frac{2\pi}{a} \hat{k}$ عند منتصفات نقاطها \hat{i} و \hat{j} و \hat{k} . أي ان منطقة برليون الاولى هي مكعب يقطع محاور k_x و k_y و k_z عند النقاط a/π وبذلك تكون اضلاعه تساوي $2\pi/a$ و حجمه هو $(2\pi/a)^3 = 8\pi^3/a^3$.

وتكون المنطقة الثانية مكونة من اهرامات تضاف لكل من الوجهين الستة لمكعب المنطقة الأولى.

المنطقة بـ ١٠٠ مليون لشبكة المكعب مـ ٣٠٠ مركزاً لـ ٦٠٠ وجهـ

$$\vec{a} = \frac{1}{2}a(\hat{i}+\hat{j}) \quad , \quad \vec{b} = \frac{1}{2}a(\hat{j}+\hat{k}) \quad , \quad \vec{c} = \frac{1}{2}a(\hat{k}+\hat{i})$$

اذ ان a هي طول ضلع الخلية المكعبية. وان متجهات الشبكة المقلوبة الاولية هي:

$$\vec{a}^* = \frac{\vec{b} \times \vec{c}}{\vec{a} \cdot \vec{b} \times \vec{c}} = \frac{\frac{a^2}{4} (\hat{j} + \hat{k}) \times (\hat{k} + \hat{i})}{\frac{a^3}{8} (\hat{i} + \hat{j}) \cdot (\hat{j} + \hat{k}) \times (\hat{k} + \hat{i})}$$

$$= \frac{2(\hat{i} + \hat{j} - \hat{k})}{a(\hat{i} + \hat{j}) \cdot (\hat{i} + \hat{j} - \hat{k})} = \frac{2(\hat{i} + \hat{j} - \hat{k})}{a(1+1)} = \frac{1}{a} (\hat{i} + \hat{j} - \hat{k})$$

حيود الاشعة السينية في البلورات والشبكة المقلوبة

وبالطريقة نفسها نحصل على:

$$\bar{b}^* = \frac{1}{a}(-\hat{i} + \hat{j} + \hat{k}) \quad , \quad \bar{c}^* = \frac{1}{a}(\hat{i} - \hat{j} + \hat{k})$$

ت تلك هذه المتجهات الاتجاه القطري للمكعب وبذلك فهي تمثل المتجهات الانتقالية لشبكة مكعب مركز الجسم $b.c.c$. وهذا يعني ان الشبكة المقلوبة لشبكة $c.c.c$ هي شبكة $b.c.c$.

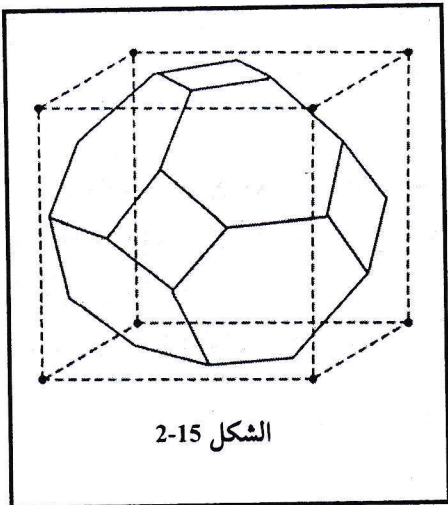
ان حجم الخلية الاولية في الشبكة المقلوبة هو:

متوجه الشبكة المقلوبة:

وان أقصر متوجهات \bar{G} اللاصفيرية هي ثمانية وتعطى بوساطة:

ان حدود الخلية الاولية في الشبكة المقلوبة وبذلك لمنطقة بربليون الاولى يتم تحديدها بشكل كبير بوساطة المستويات العمودية على هذه المتجهات الثمانية عند متصفاتها وتنظم هذه الحدود مجسمات ثمانية الشكل، ولكن تقطع زوايا هذه المجسمات الثمانية بوساطة مستويات تكون قواعط عمودية لمتجهات الشبكة المقلوبة الستة الاخرى:

الفصل الثاني



علينا ان نلاحظ ان $\frac{2\pi}{a}(\pm 2\hat{i})$ تمثل متجهات الشبكة المقوبة لأن هذه العلاقة تكون مساوية الى $(\bar{a}^* + \bar{c}^*)2\pi$. وان هذه المستويات الستة تحدد مكعبا طول ضلعه $2\pi/a$ وحجمها قدره $(2\pi/a)^3$.

ان منطقة برليون الاولى لشبكة $b.c.c.$ تكون بذلك الجسم الشماني المقطوع كما في الشكل 2-15، ويسمى هذا الشكل كذلك tetrakaidecahedron، أي الشكل متعدد السطوح ذي 14 وجه.

منطقة برليون لشبكة مكعب ممركز الجسم

المتجهات الانتقالية الاولية لشبكة $b.c.c.$ هي:

$$\bar{a} = \frac{1}{2}a(\hat{i} + \hat{j} - \hat{k}) \quad \bar{b} = \frac{1}{2}a(-\hat{i} + \hat{j} + \hat{k}) \quad \bar{c} = \frac{1}{2}a(\hat{i} - \hat{j} + \hat{k})$$

اذ ان a طول ضلع خلية المكعب. وتكون متجهات الانتقال الاولية لشبكة

المقلوبة:

$$\bar{a}^* = \frac{\bar{b} \times \bar{c}}{\bar{a} \cdot \bar{b} \times \bar{c}} = \frac{\frac{a^2}{4}(-\hat{i} + \hat{j} + \hat{k}) \times (\hat{i} - \hat{j} + \hat{k})}{\frac{a^3}{8}(\hat{i} + \hat{j} - \hat{k}) \cdot (-\hat{i} + \hat{j} + \hat{k}) \times (\hat{i} - \hat{j} + \hat{k})}$$

$$= \frac{2}{a} \frac{2(\hat{i} + \hat{j})}{(\hat{i} + \hat{j} - \hat{k}) \cdot 2(\hat{i} + \hat{j})} = \frac{2(\hat{i} + \hat{j})}{a(1+1)} = \frac{1}{a}(\hat{i} + \hat{j})$$

وبالطريقة نفسها نجد ان:

$$\bar{b}^* = \frac{1}{a}(\hat{j} + \hat{k}) \quad \text{و} \quad \bar{c}^* = \frac{1}{a}(\hat{k} + \hat{i})$$

• حيود الاشعة السينية في البلورات والشبكة المقلوبة

ونجد انها المتجهات الانتقالية الاولية لشبكة $f.c.c$. وبذلك فان الشبكة المقلوبة لشبكة $b.c.c$ هي شبكة $f.c.c$. وان حجم الخلية الاولية في هذه الشبكة المقلوبة هو:

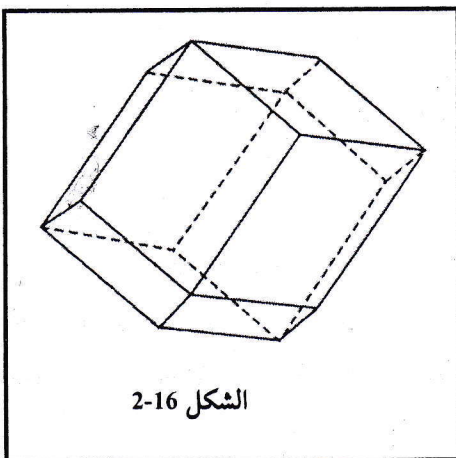
$$V^* = \vec{a}^* \cdot \vec{b}^* \times \vec{c}^* = \frac{1}{a^3} (\hat{i} + \hat{j}) \cdot (\hat{j} + \hat{k}) \times (\hat{k} + \hat{i})$$

$$= \frac{1}{a^3} (\hat{i} + \hat{j}) \cdot (\hat{i} + \hat{j} - \hat{k}) = \frac{2}{a^3}$$

وان متوجه الشبكة المقلوبة هو:

$$\vec{G} = 2\pi \left(h\vec{a}^* + k\vec{b}^* + \ell\vec{c}^* \right) \\ = \frac{2\pi}{a} \left[\hat{i}(h+\ell) + \hat{j}(h+k) + \hat{k}(k+\ell) \right] \quad \dots \quad 2-53$$

وأن أقصر \tilde{G} لا صفرى هو 12 متوجه:



وكل اختيارات الاشارة مستقلة. ويتم تحديد حدود الخلية الاولية في الشبكة المقلوبة (التي هي منطقة برليون الاولى) بواسطة المستويات العمودية على هذه المتجهات الاثنا عشر عند متصفاتها. وان المنطقة هي جسم صلب ذي 12 وجه منتظم يسمى المعين ذو rhombic dodecahedron الاثنا عشر والشكل 2-16 يوضح منطقة برليون الاولى في الشبكة . b.c.c.

منطقة برليون للشبكة السادسية

المتجهات الانتقالية الاولية للشبكة السادسية هي:

$$\vec{a} = \frac{\sqrt{3}a}{2}\hat{i} + \frac{a}{2}\hat{j} \quad , \quad \vec{b} = \frac{-\sqrt{3}a}{2}\hat{i} + \frac{a}{2}\hat{j} \quad , \quad \vec{c} = c\hat{k} \quad 2-55$$

الفصل الثاني -

اذ ان a طول ضلع القاعدة وان c ارتفاع الخلية السداسية. وجدير بالذكر ان الاحداثي x يؤخذ عبر المتجه \bar{a} وان الاحداثي y لا يؤخذ عبر المتجه \bar{b} والاحداثي z يؤخذ عبر المتجه \bar{c} .

يمكننا الحصول على المتجهات الانتقالية الاولية في الشبكة المقلوبة كما يلي:

$$\vec{a}^* = \frac{\vec{b} \times \vec{c}}{\vec{a} \cdot \vec{b} \times \vec{c}} = \frac{\left(\frac{-\sqrt{3}a}{2}\hat{i} + \frac{a}{2}\hat{j} \right) \times (ck)}{\left(\frac{\sqrt{3}a}{2}\hat{i} + \frac{a}{2}\hat{j} \right) \cdot \left(\frac{-\sqrt{3}a}{2}\hat{i} + \frac{a}{2}\hat{j} \right) \times (ck)}$$

$$= \frac{\frac{ac}{2} \left(\sqrt{3}\hat{j} + \hat{i} \right)}{\frac{a^2 c}{4} \left(\sqrt{3}\hat{i} + \hat{j} \right) \cdot \left(\sqrt{3}\hat{j} + \hat{i} \right)} = \frac{\frac{2}{a} \left(\sqrt{3}\hat{j} + \hat{i} \right)}{\sqrt{3} \times 2}$$

$$= \frac{1}{\sqrt{3}a} \hat{i} + \frac{1}{a} \hat{j}$$

وبالطريقة نفسها نجد ان:

$$\vec{b}^* = \frac{1}{\sqrt{3}a}\hat{i} + \frac{1}{a}\hat{j} \quad , \quad \vec{c}^* = \frac{1}{c}\hat{k}$$

وتووضح هذه العلاقات ان الشبيكة المقلوبة لشبيكة سداسية هي شبيكة سداسية نفسها ولكن محور دوران.

ويعطى حجم الخلية الاولية في الشبكة المقلوبة:

$$V^* = \vec{a}^* \cdot \vec{b}^* \times \vec{c}^* = \left(\frac{1}{\sqrt{3}a} \hat{i} + \frac{1}{a} \hat{j} \right) \cdot \left(-\frac{1}{\sqrt{3}a} \hat{i} + \frac{1}{a} \hat{j} \right) \times \left(\frac{1}{c} \hat{k} \right)$$

$$= \left(\frac{1}{\sqrt{3}a} \hat{i} + \frac{1}{a} \hat{j} \right) \cdot \left(\frac{1}{\sqrt{3}a} \hat{j} + \frac{1}{ac} \hat{i} \right) = \frac{2}{\sqrt{3}a^2c} \dots \quad 2-56$$

حيود الاشعة السينية في البلورات والشبكة المقلوبة

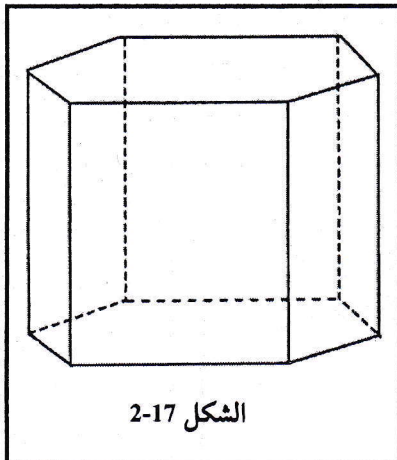
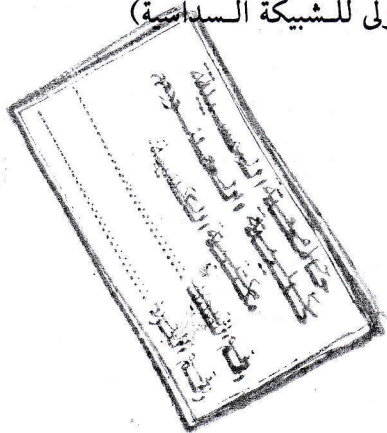
والذي بالطبع هو مقلوب الحجم $\left(\sqrt{3} \frac{a^2 c}{2} \right)$ الخاص بوحدة الخلية الاولية للشبكة المقلوبة.

ويعطى متوجه الشبكة المقلوبة:

$$\vec{G} = 2\pi(h\vec{a}^* + k\vec{b}^* + \ell\vec{c}^*)$$

$$= 2\pi \left[\frac{1}{\sqrt{3}a}(h-k)\hat{i} + \frac{1}{a}(h+k)\hat{j} + \frac{1}{c}\hat{k} \right]$$

ان اصغر \vec{G} لا صفرية هي ثمانية. ويتم تحديد حدود الخلية الاولية في الشبكة المقلوبة وبذلك منطقة برليون الاولى بوساطة المستويات العمودية على المتوجهات الثمانية هذه عند متصفاتها. وان شكل المنطقة السادسية (منطقة برليون الاولى للشبكة السادسية) موضح في الشكل 2-17.



الشكل 2-17

2-8 الطرق العملية لحيود في البلورات

Experimental crystal diffraction methods

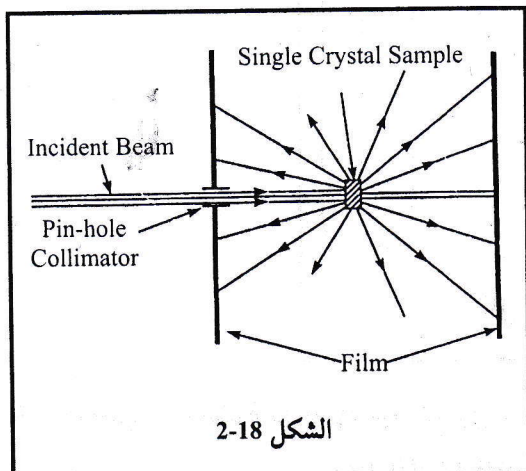
تبعاً لقانون براك يتم الحصول على امداد الحيود عندما تتطابق بالصدفة قيم الطول الموجي λ للأشعة السينية الساقطة والزاوية θ في تحقيق معادلة براك $2d \sin \theta = n\lambda$. وهذا في أي ترتيب لدراسة حيود البلورات يجب ان يتحقق التطابق بين هاتين الكميتين. ويمكن النجاح ذلك إما بوساطة تغير λ بالنسبة لقيمة θ ثابتة أو بوساطة تغير θ بالنسبة

الفصل الثاني

لقيمة λ ثابتة. وهناك ثلاث طرق عملية قياسية قدية للقيام بذلك. في الدراسة الفنية للبلورات تستعمل طرق الكاميرا الدقيقة المعقدة ونستعرض أدناه المفاهيم الأساسية لثلاث طرق:

1. طريقة لاوي Laue Method

وتعتبر تاريخياً أول نوع من أنواع طرق الحيوود للبلورات. يتم وضع بلورة أحادية بشكل ثابت ويتم تعريضها لحزمة بيهضاء (أطوال موجية متصلة ومستمرة) من أشعة سينية. ويوضح الشكل 2-18 تخطيطاً لهذه الطريقة. يتم توجيه حزمة أشعة سينية متوازية من مصدر ذي مدى واسع من الأطوال الموجية (من $0.2 - 2\text{A}^\circ$) بمساعدة ثقب على عينة بلورة منفردة ببعادها بمحدود 1mm ويتم الحصول على الأشعة المشتتة على اللوح الفوتوغرافي بالاتجاهين الأمامي والخلفي. وتنتهي هذه الأشعة المشتتة من مختلف سطح البلورة والمحققة لشرط برأس بعض الأطوال الموجية نمط من بقع على اللوح الفوتوغرافي. وتوضح البقع المتكونة على اللوح الفوتوغرافي للبلورة معروفة تركيبها تماثل البلورة والاتجاهات البلورية الموازية والعمودية على اتجاه سقوط الأشعة السينية وربما تكون هذه المعلومات مهمة لتجارب أخرى ولاغراض مختلفة وكذلك يستدل من خلال البقع على عيوب البلورة التي تحصل من بعض التأثيرات الميكانيكية أو الحرارية.



الشكل 2-18

لا يمكن استخدام طريقة لاوي في تعين احداثيات شبيكة أو تركيب بلوري للبلورة غير معروفة التركيب وذلك بسبب مدى القيم الواسع للأطوال الموجية حيث تمثل البقعة الواحدة عدة انعكاسات أي يمكن تجميع من السطوح المتوازية ذات فسح مختلفة ان تعكس آنها عدة اطوال موجية لعدة قيم للرتبة n وبذلك يتعدد اعتبار شدة بقعة ما ممثلة

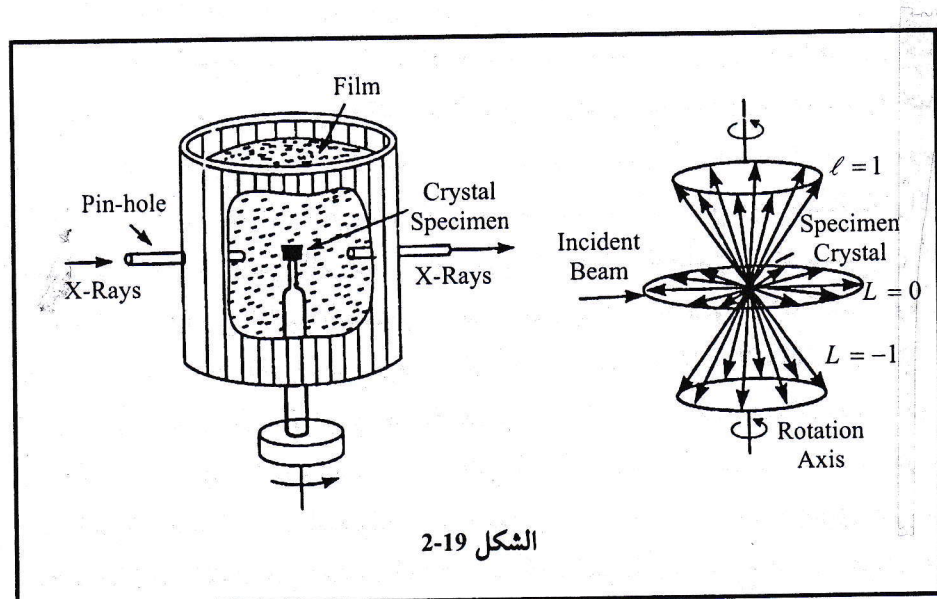
لشدة انعكاس سطح (hkl) معين ذو فسحة معينة. وبالرغم من ان التمايل في نمط لاوي يعطينا شكل وحدة الخلية، إلا ان هذه الطريقة غير مناسبة في ايجاد تركيب البلورة. وبسبب مدى الأطوال الموجية الواسع للاشعة الساقطة تعكس العديد من الأطوال الموجية بالاتجاهات المختلفة من مستوى احادي مؤدية الى تداخل رتب مختلفة عند بقعة واحدة. وبذلك يكون

حيود الاشعة السينية في البلورات والشبكة المقلوبة

قياس شدة الانعكاس من كل بقعة وبذلك قياس شدة الانعكاسات المفقودة يصبح صعباً وجدير بالذكر ان هذا القياس وكما موضحه الشكل 2-18 يعد اشاره مهمة لمعرفة تركيب البلورة.

2. طريقة تدوير البلورة Rotating crystal method

في هذه الطريقة وعلى خلاف طريقة لاوي، يتم تدوير عينة من بلورة أحادية ابعادها لا تتجاوز 1 mm حول محور ثابت توضع على مغزل دوار والشكل 2-19 يوضح تخطيطاً لهذه الطريقة. تستعمل حزمة اشعة سينية احادية الطول الموجي يتم الحصول عليها بوساطة مرشح او بوساطة انعكاس من بلورة اضافية اخرى (تعمل على السماح لطول موجي معين من الانعكاس منها ثم يستخدم هذا الشعاع المنعكس كحزمة ساقطة) وتكون باتجاه عمودي على محور دوران البلورة. يثبت لوح فوتوغرافي داخل حامل اسطواني متتركز مع المغزل الدوار.



الشكل 2-19

ومن خلال تغيير الزاوية θ الذي يتم من خلال تدوير البلورة يتم وضع مستويات البلورة المختلفة في وضع انعكاس وتشتت الحزمة من مستوى بلورة معين عندما تتحقق قيمة الزاوية θ شرط براك. وتقع الحزم المتشتتة من كل المستويات الموازية لمحور الدوران في المستوى الافقى وتعطي بقعاً على اللوح الفوتوغرافي على محيط دائرة أفقية مؤشرة بالرمز

$\ell = 0$. وتعطي الحزم الواردة من المستويات ذات التوجيهات الأخرى بقعاً على الدوائر الأفقيّة التي تقع فوق وتحت الدائرة $\ell = 0$ وتشير على أنها $\ell = \pm 1$ و $\ell = \pm 2$ وهكذا. وسوف لن يكون هنالك حزم تعكس مستويات البلورة التي تضم دائماً الحزمة الساقطة. والشكل b-19-2 يوضح تلك الدوائر التي تعود إلى $\ell = \pm n$ (إذ أن n عدد صحيح) تقع على قواعد المخاريط الواقعه حول محور الدوران وبزاوية قائمه بالنسبة للحزمة الساقطة. وبذلك يسجل اللوح الفوتوغرافي الاسطوانى الانعکاسات التي تعود إلى طبقة شبیکة مقلوبة على شكل بقع تقع عبر خط افقي يسمى خط الطبقة وان خطوط الطبقات المختلفة تعود إلى طبقات شبیکة مقلوبة مختلفة. ان ارتفاع خط الطبقة عن خط $\ell = 0$ يتنااسب عكسياً مع المسافة البينية بين المستويات d_{hkl} . وبذلك يمكن استعمال صور تدوير البلورة في تحديد معاملات وحدة الخلية لعينة البلورة مع العلاقات الهندسية بين d_{hkl} ومعاملات الشبیکة التي عرضناها في الفصل الاول.

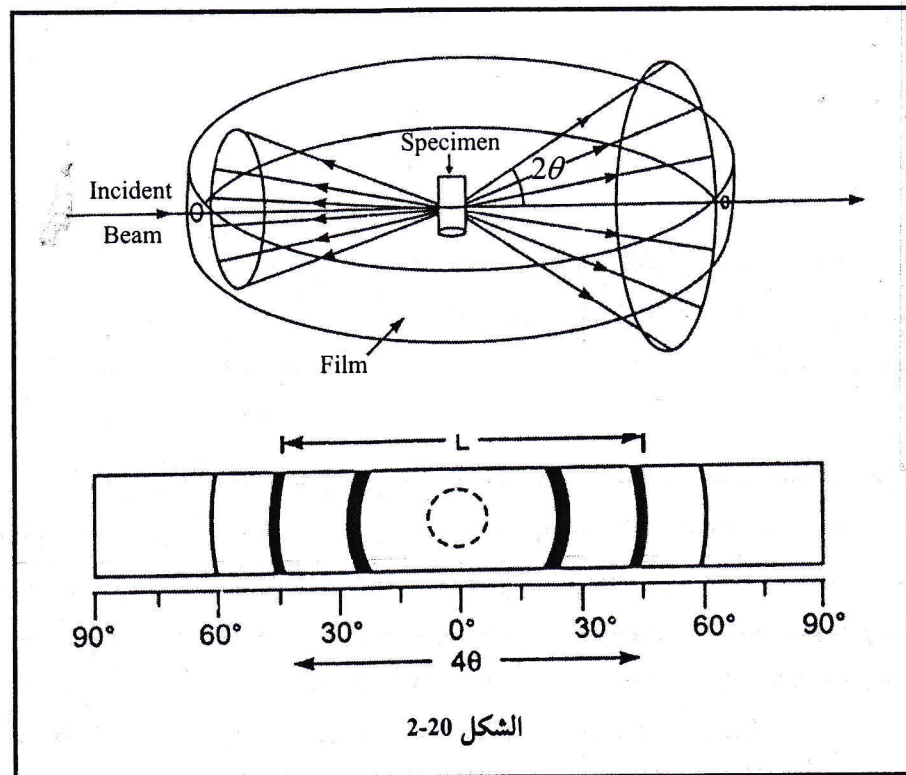
ولأن هنالك عدد كبير جداً من الاشعه المتشتته (يصل إلى أكثر من 10000) فلقد تم تطوير طرق اخرى تقوم بتقليل تراكم الانعکاسات المختلفة ومن بين هذه الطرق المحورة عن طريقة تدوير البلورة هي طريقة تذبذب البلورة، وفيها يسمح للبلورة بالتزبذب خلال مدى زاوي محدد يتراوح عادة بين عشر درجات إلى عشرين درجة بدلاً من تدويرها خلال 360° . من مميزات هذه الطريقة مقارنة بطريقة التدوير أنها تقلل من احتمالية تراكم الانعکاسات المختلفة وتعطي الفرصة لدراسة قوة تشتت كل انعکاس حيث يسمح في هذه الطريقة لعدد محدود من مجاميع السطوح بتحقيق قانون براك وحصول الانعکاس. وهناك طريقة اخرى تسمى طريقة وايزنبرج وفيها يتم التغلب على الخلل الانعکاسات المتراكبة والمسجلة على اللوح الفوتوغرافي في طريقة تدوير البلورة وازالته من خلال تحديد دوران البلورة خلال تعرضها للأشعة السينية بعدد قليل من الدرجات لا يزيد عن عشرين درجة. في هذه الطريقة تحيط البلورة بساطوانة معدنية تدعى شاشة الطبقة الخطية ويحتوي على شق تمر خلاله الاشعة المتشتته من احدى طبقات الشبیکة المقلوبة إلى اللوح الفوتوغرافي. عند دوران البلورة وتعرضها للأشعة السينية سيتتجزء عدد كبير من الانعکاسات بطبقات مختلفة ولكن وجود الشق سوف يسمح فقط للأشعة المنعكسة من عدد محدود من السطوح البلورية بالمرور وت تكون طبقة افقية من البقع على اللوح الفوتوغرافي اذا كان اللوح الفوتوغرافي ثابتاً ولما كان اللوح الفوتوغرافي مستمراً بالحركة فسوف تسجل الانعکاسات المتعاقبة المبنية من

حيود الاشعة السينية في البلورات والشبكة المقلوبة

البلورة والمكونة لطبقة واحدة من البقع في موقع مختلف من اللوح الفوتوغرافي، وبذلك تكون قد الخللت بعضها عن بعض.

3. طريقة المسحوق Powder method

ان أول من استعمل طريقة المسحوق هو ديباي وشيرر. تستخدم هذه الطريقة عندما يصعب تكوين بلورة كبيرة لدراستها بوحدة من الطرق السابقة، ففي هذه الطريقة يتم طحن المادة على هيئة مسحوق متجلانس من الحبيبات أو البلورات الصغيرة وتكون العينة عبارة عن قضيب من مادة متعددة البلور (يصنع القضيب من حبيبات مسحوق مصمغة مع بعضها الآخر أو يتم وضع مادة حبيبية متعددة البلور في أنبوبة شعرية نحيفة. غالباً ما تكون الخزنة الساقطة اشعاع K_{α} للنحاس ($\lambda = 1.54 \text{ \AA}^{\circ}$) أو الموليبدنيوم ($\lambda = 0.709 \text{ \AA}^{\circ}$) يتم الحصول عليه أما بوساطة مرشح أو من بلورة أخرى اضافية ويتم تمرير الخزنة عبر ثقب. ويكون اللوح الفوتوغرافي عبارة عن شريحة ملفوفة على الجدار الداخلي لغرفة اسطوانية تتمرّكز على العينة ويعرض الشكل 2-20 الشكل التخطيطي لكاميرا المسحوق.



يكون توزيع اتجاهات الحبيبات البلورية مستمراً تقريباً. وتخرج الاشعة المختلفة المتشتتة عن الحبيبات البلورية التي يحدث أنها توجه بمستويات تصنع زاوية برأس θ مع حزمة الاشعة محققة شرط برأس باتجاهات تصنع زاوية 2θ (لعرفة سبب ذلك راجع الشكل 2-3). ولما كان متوفراً في جميع التوجيهات مجموعة معينة من مستويات (hkl) فستتشتت اشعة الحبيبات المختلفة عبر مخاريط متمركزة مع الحزمة الساقطة ومع زاوية نصف رأسية 2θ . وتنتج مستويات (hkl) المختلفة ذات المخاريط المختلفة وتكون أجزاء هذه المخاريط المقطوعة بوساطة شريحة اللوح الفوتوغرافي على شكل زوج من الاقواس كما هو واضح في الشكل 2-2. وكما يتضح من هذا الشكل فإن المسافة L بين قوسين يقعنان بشكل متماثل حول البقعة المركزية تظم زاوية 4θ . ومن الشكل 2-2 لو كان x يمثل قطر الدائرة على اللوح وإن R هي المسافة من العينة إلى اللوح يكون لدينا:

$$\tan 2\theta = \frac{x}{R}$$

$$2\theta = \frac{x^2}{R}$$

$$x = 4\theta R$$

أو يمكن أن نكتبها:

ومنها نجد أن:

إن R تساوي في العادة نصف قطر الداخلي للوح الكاميرا الفوتوغرافي وبذلك يمكن معايرة شريحة اللوح بدالة θ كما يتضح من الشكل 2-2 وبتعويض قيمة λ المستعملة وقيمة θ من الشريحة المعايرة في علاقه برأس $2d_{hkl} \sin \theta = n\lambda$ يمكن أن نحصل على قيمة d_{hkl} ذات العلاقة.

وأضافة إلى فائدة هذه الطريقة في دراسة مكونات السبائك ونسب تلك المكونات فتسمح البعض من كاميراتها بتسخين الحبيبات البلورية لدرجات حرارة عالية. تتضمن هذه الطريقة في دراسة التركيب البلوري الكثير من مصادر الأخطاء في حسابات المسافات البينية بين السطوح ومن بين الأخطاء الفيزيائية فيها أمتصاص المسحوق للاشعة السينية وكذلك انكسار هذه الاشعة بوساطة المسحوق، وهناك أخطاء هندسية تكمن في مثلاً عدم معرفة نصف قطر اللوح الفوتوغرافي بصورة دقيقة وكذلك انفراج الاشعة السينية.

حيود الاشعة السينية في البلورات والشبكة المقلوبة

سوف نلخص اهم الفوائد من كل طريقة من الطرق الثلاثة لدراسة حيود الاشعة

السينية في الجدول 2-1:

طريقة المسحوق	طريقة تدوير البلورة	طريقة لاوي	الاستعمال
ممكن	ممكن تحت وضع خاص	غير ممكن	التعرف على نظام البلورة
ممكن	ممكن	غير ممكن	معاملات او احداثيات الشبكة
صعب	ممكن	صعب	معاملات السطوح
غير ممكن	ممكن تحت وضع خاص	ممكن	توجيه البلورة

تمارين عامة محلولة

1. أثبت تحليلياً أن حجم وحدة الخلية في الشبكة المقلوبة هو مقلوب حجم وحدة خلية الشبكة المباشرة.

الحل:

معاملات وحدة خلية الشبكة المقلوبة ترتبط بتلك التي تعود إلى الشبكة المباشرة من خلال العلاقات التالية:

$$\vec{a}^* = \frac{\vec{b} \times \vec{c}}{\vec{a} \cdot (\vec{b} \times \vec{c})} \quad \text{و} \quad \vec{b}^* = \frac{\vec{c} \times \vec{a}}{\vec{a} \cdot (\vec{b} \times \vec{c})} \quad \text{و} \quad \vec{c}^* = \frac{\vec{a} \times \vec{b}}{\vec{a} \cdot (\vec{b} \times \vec{c})}$$

ويكون من هنا حجم وحدة خلية الشبكة المقلوبة هو:

$$V^* = \vec{a}^* \cdot \vec{b}^* \times \vec{c}^* = \frac{(\vec{b} \times \vec{c}) \cdot (\vec{c} \times \vec{a}) \times (\vec{a} \times \vec{b})}{(\vec{a} \cdot \vec{b} \times \vec{c})^3}$$

ونعرف من جبر المتجهات أن:

$$\vec{x} \times (\vec{a} \times \vec{b}) = \vec{a} (\vec{x} \cdot \vec{b}) - \vec{b} (\vec{x} \cdot \vec{a})$$

ولو وضعنا $\vec{x} = \vec{c} \times \vec{a}$ فسيكون:

$$\begin{aligned} (\vec{c} \times \vec{a}) \times (\vec{a} \times \vec{b}) &= \vec{a} (\vec{c} \times \vec{a} \cdot \vec{b}) - \vec{b} (\vec{c} \times \vec{a} \cdot \vec{a}) \\ &= \vec{a} (\vec{a} \cdot \vec{b} \times \vec{c}) - \vec{b} (\vec{c} \cdot \vec{a} \times \vec{a}) \\ &= \vec{a} (\vec{a} \cdot \vec{b} \times \vec{c}) - 0 \end{aligned}$$

وبذلك:

$$(\vec{b} \times \vec{c}) \cdot (\vec{c} \times \vec{a}) \times (\vec{a} \times \vec{b}) = (\vec{b} \times \vec{c}) \cdot \vec{a} (\vec{a} \cdot \vec{b} \times \vec{c})$$

$$(\vec{b} \times \vec{c} \cdot \vec{a}) (\vec{a} \cdot \vec{b} \times \vec{c}) = (\vec{a} \cdot \vec{b} \times \vec{c})^2$$

حيود الاشعة السينية في البلورات والشبكة المقلوبة

اذن:

$$V^* = \frac{(\vec{a} \cdot \vec{b} \times \vec{c})^2}{(\vec{a} \cdot \vec{b} \times \vec{c})^3} = \frac{1}{\vec{a} \cdot \vec{b} \times \vec{c}} = \frac{1}{V}$$

اذ ان V هو حجم وحدة خلية الشبكة المباشرة.

2. اشتقت معادلة براك $2\vec{k} \cdot \vec{G} + \vec{G}^2 = 0$ من صيغتها الاتجاهية $2d_{hk\ell} \sin \theta = n\lambda$

الحل:

$$\vec{k} = \frac{2\pi}{\lambda} \vec{n}_1$$

نعرف من التعريف ان:

اذ ان \vec{n}_1 وحدة متوجه بالاتجاه \vec{k} و:

$$\vec{G} = 2\pi(h\vec{a}^* + k\vec{b}^* + \ell\vec{c}^*) = 2\pi\vec{r}^*$$

$$= 2\pi \left(\frac{n}{d_{hk\ell}} \right) \vec{n}_2$$

اذ ان \vec{n}_2 وحدة متوجه بالاتجاه \vec{G} .

وبتعويض قيم \vec{k} و \vec{G} في صيغة المتوجه المعطاة

$$2\vec{k} \cdot \vec{G} + \vec{G}^2 = 0$$

$$2 \left(\frac{2\pi}{\lambda} \vec{n}_1 \right) \cdot \left(\frac{2\pi n}{d_{hk\ell}} \vec{n}_2 \right) + \left(\frac{2\pi n}{d_{hk\ell}} \vec{n}_2 \right)^2 = 0$$

أو:

$$2d_{hk\ell} \vec{n}_1 \cdot \vec{n}_2 + n\lambda \vec{n}_2^2 = 0$$

$$\vec{n}_1 \cdot \vec{n}_2 = \cos(90^\circ + \theta) = -\sin \theta \quad \text{و} \quad \vec{n}_2^2 = 1$$

ولكن:

ويمكن ان نرى من الشكل 12-2 ان الزاوية بين الاتجاهات \vec{k} و \vec{G} هي $(90^\circ + \theta)$

$$2d_{hk\ell} \sin \theta = n\lambda$$

اذن:

الفصل الثاني

3. هنالك ثلاث مصادر للأشعاع احدهما يعطي اشعة سينية والآخر يعطي حزمة نيوترونات والثالث يعطي حزمة الاليكترونات وكل منها بطاقة مقدارها 10^4 eV . احسب الطول الموجي لكل اشعاع.

الحل:

يعطي الطول الموجي للأشعة السينية بوساطة:

$$\lambda(A^\circ) = \frac{12.43}{E(\text{keV})}$$

$$\lambda = \frac{12.43}{10 \text{ keV}} = 1.243 A^\circ$$

ويعطي الطول الموجي بالنسبة لأشعاع النيوترون بوساطة:

$$\lambda(A^\circ) = \frac{0.286}{\sqrt{E(\text{eV})}}$$

$$\lambda = \frac{0.286}{\sqrt{10^4}} = 0.00286 A^\circ$$

وبالنسبة لحزمة الاليكترونات يعطي الطول الموجي بوساطة:

$$\lambda = \sqrt{\frac{150.8}{E(\text{eV})}} = \sqrt{\frac{150.8}{10^4}} = 0.1228 A^\circ$$

4. جد المسافة البينية بين الذرات في حالة بلورة NaCl . اذا علمت ان كثافة NaCl هي 2.16 g/cm^3 وان الوزن الذري لـ Na هو 23 وان Cl هو 35.5 وان عدد افوكادرو هو $N_A = 6.03 \times 10^{23}$.

الحل:

وحدة خلية NaCl هي خلية مكعبية تمتلك عند الاركان المتابعة ذرات Na و Cl . ولما كان كل من الاركان الثمانية يشتراك مع ثمان ذرات اخر فهناك بالمعدل ذرة واحدة لكل وحدة خلية، بمعنى ان كل وحدة خلية مكعبة من NaCl تحتوي على نصف ذرة Na ونصف ذرة Cl ، او نصف جزيئه NaCl . وكذلك الوزن الجزيئي الى NaCl هو $23 + 35.5 = 58.5$.

حيود الاشعة السينية في البلورات والشبكة المقلوبة

$$\text{الآن كتلة وحدة الخلية} = \frac{1}{2} \left(\frac{58.5}{N_A} \right) = NaCl \quad \text{جزيئ} \quad \frac{1}{2} \text{ كتلة وحدة الخلية}$$

ومن الشكل الهندسي لخلية المكعب الذي طول ضلعه d لدينا كتلة وحدة الخلية \times الكثافة

$$d^3 \times \text{الكثافة} = \frac{58.5}{2N_A} \quad \text{و لدينا الكثافة وعدد افوكادرو فسيكون طول ضلع المكعب}$$

هو:

$$d = \left(\frac{58.5}{2 \times 6.03 \times 10^{23} \times 2.16} \right)^{1/3} = 2.821 \times 10^{-8} \text{ cm} = 2.821 A^\circ$$

وبطريقة اخرى يمكن ان نجد المسافة البينية بين الذرات من المعادلة:

$$a = \left(\frac{nM}{N_A \rho} \right)^{1/3}$$

$$\text{ولدينا } n = \frac{1}{2} \text{ و } \rho = 2.16 \text{ g/cm}^3 \text{ و } N_A = 6.03 \times 10^{23} \text{ و } M = 58.5$$

$$a = \left(\frac{58.5}{2 \times 6.03 \times 10^{23} \times 2.16} \right)^{1/3} = 2.821 \times 10^{-8} \text{ cm} = 2.821 A^\circ$$

للحظت رتبة الانعكاس الاولى لحزمة اشعة سينية احادية الطول الموجي من بلورة $NaCl$ بزاوية خاطفة 8° . اذا كانت المسافة بين المستويات الاساسية لبلورة $NaCl$ هي $2.821 A^\circ$. د الطول الموجي لحزمة الاشعة السينية. عند أي زاوية ستكون النهاية العظمى الثانية؟

الحل:

من معادلة براك:

$$2d_{hk\ell} \sin \theta = n\lambda$$

لدينا: $n = 1$ و $\theta = 8^\circ$ و $d = 2.821 \times 10^{-8} \text{ m}$ وذلك:

$$\lambda = \frac{2d \sin \theta}{n}$$

الفصل الثاني

$$= \frac{2(2.821 \times 10^{-10})(0.1392)}{1} = 0.7854 \times 10^{-10} m = 0.7854 A^\circ$$

وبالنسبة الى $n = 2$

$$\sin \theta = \frac{n\lambda}{2d} = \frac{2(0.7854 \times 10^{-10})}{2(2.821 \times 10^{-10})} = 0.2784$$

$$\theta = 16^\circ 10'$$

6. احسب قيمة زاوية براك التي تعود لانعكاس الرتبة الاولى لخزنة اشعة سينية طاقتها من المستوى $0.01 MeV$ لبلورة علما ان $d_{100} = 3.14 A^\circ$. مالذي ستكون عليه اعلى رتبة انعكاس يمكن ملاحظتها في هذه الحالة؟

الحل:

لما كان $\lambda = n\lambda$ ولدينا $2d_{hkl} \sin \theta = n\lambda$ و $d = 3.14 A^\circ$ و $n = 1$ فان:

$$\lambda(A^\circ) = \frac{12.43}{E(kEV)} = \frac{12.43}{10} = 1.243 A^\circ$$

$$\sin \theta = \frac{n\lambda}{2d} = \frac{1(1.243 \times 10^{-10})}{2(3.14 \times 10^{-10})} = 0.1979$$

$$\theta = 11^\circ 25'$$

ولما كانت القيمة العظمى الى $\sin \theta$ هي 1 فان:

$$\sin \theta = \frac{n\lambda}{2d} < 1$$

$$n < \frac{2d}{\lambda} < \frac{2(3.14 \times 10^{-10})}{1.243 \times 10^{-10}} < 5.05$$

أو

وبذلك تكون اعلى رتبة ممكن ملاحظتها هي $n = 5$.

7. خزنة ضيقة من اشعة K للنحاس ($\lambda = 1.542 A^\circ$) سقطت على رقاقة جرافايت تدور حول محور ثابت عمودي على الاشعاع الساقط. لوحظ ان الشعاع انعكاس جزيئيا

حيود الاشعة السينية في البلورات والشبكة المقلوبة

من مستوى الرقاقة مروراً عندما صنع التجاهم زاوية مقدارها 13° أو 27° أو 43° أو 64° مع مستوى الرقاقة. ما الذي تستنتجه من هذه الملاحظات؟

الحل:

تتمثل رقاقة الجرافيات أربعةمجموعات مختلفة من المستويات بمسافات بينية بين المستويات d_1 و d_2 و d_3 و d_4 التي تعكس الحزمة الساقطة باتجاهات أربعة مختلفة هي حسب الترتيب θ_1 و θ_2 و θ_3 و θ_4 . ولما كانت $d_{hk\ell} \sin \theta = n\lambda$ فانه بالنسبة الى $n=1$ ستكون d لكل حالة هي:

$$d_1 = \frac{\lambda}{2 \sin \theta_1} = \frac{1.542}{2(0.2250)} = 3.427 A^\circ$$

$$d_2 = \frac{\lambda}{2 \sin \theta_2} = \frac{1.542}{2(0.4540)} = 1.698 A^\circ$$

$$d_3 = \frac{\lambda}{2 \sin \theta_3} = \frac{1.542}{2(0.6820)} = 1.130 A^\circ$$

$$d_4 = \frac{\lambda}{2 \sin \theta_4} = \frac{1.542}{2(0.8988)} = 0.8578 A^\circ$$

8. اثبت انه بالنسبة لشبكة مكعب بسيط ان $d_{hk\ell} = a / \sqrt{h^2 + k^2 + \ell^2}$ وانه بالنسبة

$$\cdot \frac{1}{d_{hk\ell}^2} = \frac{4}{3a^2} (h^2 + hk + k^2) + \frac{\ell^2}{c^2}$$

الحل:

يكون حاصل الضرب متوجه الشبكة المقلوبة بنفسه هو:

$$\begin{aligned} \vec{r}^* \cdot \vec{r}^* &= (h'\vec{a}^* + k'\vec{b}^* + \ell'\vec{c}^*) \cdot (h'\vec{a}^* + k'\vec{b}^* + \ell'\vec{c}^*) \\ &= n^2 (h^2 \vec{a}^* \cdot \vec{a}^* + k^2 \vec{b}^* \cdot \vec{b}^* + \ell^2 \vec{c}^* \cdot \vec{c}^* + 2hk\vec{a}^* \cdot \vec{b}^* + 2k\ell\vec{b}^* \cdot \vec{c}^* + 2\ell h\vec{c}^* \cdot \vec{a}^*) \end{aligned}$$

الفصل الثاني

اذ ان $h' = nh$ و $k' = nk$ و $\ell' = n\ell$ وهنا n يمثل عدد صحيح. لو كانت α^* الزاوية بين \bar{b}^* و \bar{c}^* وكانت β^* الزاوية بين \bar{c}^* و \bar{a}^* وكانت γ^* الزاوية بين

المتجهات المقلوبة \bar{a}^* و \bar{b}^* وكذلك لدينا $\frac{n^2}{d_{hkl}^2} \cdot \bar{r}^*$ يمكننا ان نكتب:

$$\frac{I}{d_{hkl}^2} = h^2 a^{*2} + k^2 b^{*2} + \ell^2 c^{*2} + 2hka^*b^*\cos\gamma^* + 2k\ell b^*c^*\cos\alpha^* + 2\ell hc^*a^*\cos\beta^*)$$

وهذه العلاقة تقود لنتائج معقدة بالنسبة للتراكيب البلورية المعقدة ولكنها بالنسبة للتراكيب البلورية البسيطة ذات التمايل العالي فانها يمكن ان تكون اكثر تبسيطا.

فبالنسبة لشبكة المكعب البسيط تكون $\bar{b}^* = \bar{c}^* = \bar{a}^*$ وان $90^\circ = \alpha^* = \beta^* = \gamma^*$ وبذلك تتبسط المعادلة الى الصورة:

$$\frac{I}{d_{hkl}^2} = a^{*2} (h^2 + k^2 + \ell^2)$$

ولكن $a^* = I/a$ وبذلك:

$$d_{hkl} = a / \sqrt{h^2 + k^2 + \ell^2}$$

اما بالنسبة للنظام سداسي فلدينا $\bar{a}^* = \bar{b}^* \neq \bar{c}^*$ و $90^\circ = \alpha^* = \beta^*$ و $60^\circ = \gamma^*$ وبذلك تتبسط المعادلة الى:

$$\frac{I}{d_{hkl}^2} = a^{*2} (h^2 + hk + k^2) + \ell^2 c^{*2}$$

ولكن الشبكة المقلوبة لشبكة سداسية هي شبكة سداسية اخرى فيها $c^* = I/c$ او $c^* = I/a \cos 30^\circ = 2/a\sqrt{3}$

$$a^{*2} = \bar{a}^* \cdot \bar{a}^* = \left(\frac{I}{a\sqrt{3}} \hat{i} + \frac{I}{a} \hat{j} \right) \cdot \left(\frac{I}{a\sqrt{3}} \hat{i} + \frac{I}{a} \hat{j} \right)$$

$$= \frac{I}{3a^2} + \frac{I}{a^2} = \frac{4}{3a^2}$$

$$a^* = \frac{2}{a\sqrt{3}}$$

بحيث ان:

— حيود الاشعة السينية في البلورات والشبكة المقلوبة

$$\frac{1}{d_{hk\ell}^2} = (h^2 + k^2 + \ell^2) \frac{4}{3a^2} + \frac{\ell^2}{c^2}$$

9. دالة الموجة بالنسبة الى ذرة هييدروجين في حالتها المستقرة تعطى بوساطة: $\psi = e^{-r/a_0} / \sqrt{\pi a_0^3}$ اذا ان a_0 هو نصف قطر بوهر الاول. احسب عامل التركيب الذري.

الحل:

اذا كانت ψ^* هي المرافق المعقّد الى ψ فان كثافة الاليكترون تعطى بوساطة:

$$\rho(r) = \psi \psi^* = \frac{e^{-r/a_0}}{\sqrt{\pi a_0^3}} \times \frac{e^{-r/a_0}}{\sqrt{\pi a_0^3}} = \frac{e^{-2r/a_0}}{\pi a_0^3}$$

ويعطى عامل التركيب الذري لذرة مثل هذه بوساطة المعادلة 2-23:

$$f = 4\pi \int_0^\infty r^2 \rho(r) \frac{\sin \mu r}{\mu r} dr$$

وبتعويض قيمة $\rho(r)$ والتبسيط يكون لدينا:

$$f = \frac{4}{\mu a_0^3} \int_0^\infty r e^{-2r/a_0} \sin \mu r dr$$

ومن التكاملات القياسية لدينا: $\int_0^\infty x e^{-ax} \sin bx dx = \frac{2ab}{(a^2 + b^2)^2}$
اعلاه ستكون $a = 2/a_0$ و $b = \mu$ وبذلك:

$$f = \frac{4}{\mu a_0^3} \frac{2 \left(\frac{2}{a_0} \mu \right)}{\left(\frac{4}{a_0^2} + \mu^2 \right)^2} = \frac{16}{a_0^4} \left(\frac{a_0^2}{4 + \mu^2 a_0^2} \right)^2$$

$$f = \frac{16}{(4 + \mu^2 a_0^2)^2}$$

الفصل الثاني

10. لديك متجه الشبكة المقلوبة $\vec{G} = \frac{2\pi}{V} (h\vec{b} \times \vec{c} + k\vec{c} \times \vec{a} + \ell\vec{a} \times \vec{b})$, جد علاقته

متجه الشبكة المقلوبة بالاحداثيات الكارتيزية بالنسبة لشبكة مكعب مركزه الاووجه
وشبكة مكعب مركزه الجسم تناسب خلية مكعب طول ضلعه a . احسب منها اطوال
متجهات الشبكة المقلوبة لاختيارات h و k و ℓ التالية:

h	k	ℓ
1	0	0
1	-1	0
1	1	0
1	1	-1

الحل:

بالنسبة لشبكة المكعب مركز الاووجه تكون المتجهات الانتقالية الاولية هي:

$$\vec{c} = \frac{a}{2}(\hat{k} + \hat{i}) \quad \vec{b} = \frac{a}{2}(\hat{j} + \hat{k}) \quad \vec{a} = \frac{a}{2}(\hat{i} + \hat{j})$$

الخلية:

$$V = \vec{a} \cdot \vec{b} \times \vec{c} = \frac{a^3}{8} [(\hat{i} + \hat{j}) \cdot (\hat{j} + \hat{k}) \times (\hat{k} + \hat{i})]$$

$$= \frac{a^3}{8} (\hat{i} + \hat{j}) \cdot (\hat{i} + \hat{j} - \hat{k}) = \frac{a^3}{8} (1 + 1) = \frac{a^3}{4}$$

وبتعويض $\vec{a}, \vec{b}, \vec{c}$ و V في العلاقة المعطاة بالنسبة الى \vec{G} سيكون لدينا:

$$\begin{aligned} \vec{G} &= \frac{8\pi}{a^3} \left[h \frac{a^2}{4} (\hat{j} + \hat{k}) \times (\hat{k} + \hat{i}) + \right. \\ &\quad \left. k \frac{a^2}{4} (\hat{k} + \hat{i}) \times (\hat{i} + \hat{j}) + \ell \frac{a^2}{4} (\hat{i} + \hat{j}) \times (\hat{j} + \hat{k}) \right] \\ &= \frac{2\pi}{a} [(h - k + \ell)\hat{i} + (h + k - \ell)\hat{j} + (-h + k + \ell)\hat{k}] \end{aligned}$$

حيود الاشعة السينية في البلورات والشبكة المقلوبة

أطوال متجه الشبكة المقلوبة:

$$G = \sqrt{\vec{G} \cdot \vec{G}} = \frac{2\pi}{a} \left[(h-k+\ell)^2 + (h+k-\ell)^2 + (-h+k+\ell)^2 \right]^{1/2}$$

وبالنسبة للاختيارات الاربعة المعطاة يكون:

$$G = \frac{2\pi}{a} \sqrt{3}, \quad \frac{2\pi}{a} 2\sqrt{2}, \quad \frac{2\pi}{a} 2, \quad \frac{2\pi}{a} 2\sqrt{5}$$

اما بالنسبة لشبكة المكعب مركز الجسم فان متجهات الانتقال الاولية هي:

$$\vec{a} = \frac{a}{2} (\hat{i} + \hat{j} - \hat{k}) \quad \text{و} \quad \vec{b} = \frac{a}{2} (-\hat{i} + \hat{j} + \hat{k}), \quad \vec{c} = \frac{a}{2} (\hat{i} - \hat{j} + \hat{k})$$

ومن ثم يكون حجم وحدة الخلية:

$$V = \vec{a} \cdot \vec{b} \times \vec{c} = \frac{a^3}{8} \left[(\hat{i} + \hat{j} - \hat{k}) \cdot (-\hat{i} + \hat{j} + \hat{k}) \times (\hat{i} - \hat{j} + \hat{k}) \right]$$

$$= \frac{a^3}{8} (\hat{i} + \hat{j} - \hat{k}) \cdot [2(\hat{i} + \hat{j})] = \frac{a^3}{4} (1+1) = \frac{a^3}{2}$$

وبتعريض $\vec{a}, \vec{b}, \vec{c}$ و V في العلاقة المعطاة بالنسبة الى \vec{G} سيكون لدينا:

$$\vec{G} = \frac{4\pi}{a^3} \left[h \frac{a^2}{4} (-\hat{i} + \hat{j} + \hat{k}) \times (\hat{i} + \hat{j} - \hat{k}) + k \frac{a^2}{4} (\hat{i} - \hat{j} + \hat{k}) \times (\hat{i} + \hat{j} - \hat{k}) + \ell \frac{a^2}{4} (\hat{i} + \hat{j} - \hat{k}) \times (-\hat{i} + \hat{j} + \hat{k}) \right]$$

$$= \frac{2\pi}{a} \left[h(\hat{i} + \hat{j}) + k(\hat{j} + \hat{k}) + \ell(\hat{k} + \hat{i}) \right]$$

$$= \frac{2\pi}{a} [(\ell + h)\hat{i} + (h + k)\hat{j} + (k + \ell)\hat{k}]$$

الفصل الثاني

وطول متجه الشبكة المقلوبة:

$$G = \sqrt{\bar{G} \cdot \bar{G}} = \frac{2\pi}{a} \left[(\ell + h)^2 + (h + k)^2 + (k + \ell)^2 \right]^{1/2}$$

وبالنسبة للاختبارات الاربعة:

$$G = \frac{2\pi}{a} \sqrt{2}, \quad \frac{2\pi}{a} \sqrt{2}, \quad \frac{2\pi}{a} \sqrt{6}, \quad \frac{2\pi}{a} \sqrt{10}$$

أسئلة وتمارين عامة

1. ما هي فوائد ومحددات استعمال الاشعة السينية في دراسة التراكيب البلورية؟
2. وضح كيف عالج براك حيود البلورة كانعكاس مرأوي للأشعة السينية من شبكة بلورة. اشتق قانون براك.
3. كيف يمكن إثبات قانون براك عملياً؟
4. شوهد انعكاس الرتبة الأولى (100) بزاوية خاطفة 18° عندما تشتت حزمة أشعة سينية طولها الموجي $1.542 A^\circ$ من بلورة مكعبية. ما هي المسافة d_{100} في البلورة؟
الجواب: $d_{100} = 0.2495 A^\circ$
5. في مطياف براك شوهدت الزاوية الخاطفة للرتبة الأولى عند 14.6° . احسب الطول الموجي للأشعة السينية اذا علمت ان $d = 3.044 A^\circ$.
الجواب: $\lambda = 1.533 A^\circ$
6. حزمة أشعة سينية طولها الموجي $0.5 A^\circ$. عندما سقطت على بلورة اعطت رتبة انعكاس أولى عند 4.9° . ما هي المسافة البينية بين المستويات المجاورة للبلورة. وعند أي زاوية تكون النهاية العظمى الثانية؟
الجواب: $\theta = 9^\circ 50'$ ، $d = 2.927 A^\circ$
7. بلورة كوارتز المسافة البينية بين ذراتها $4.26 A^\circ$ تعرضت لأشعاع K_α للنحاس ($\lambda = 1.54 A^\circ$). احسب اصغر زاوية خاطفة. ما تكون عليه اعلى رتبة انعكاس التي يمكن ان تشاهد في هذه التجربة؟
الجواب: $n = 5$ ، $\theta = 10^\circ 25'$
8. كيف عالج لاوي حيود الاشعة السينية من بلورة؟ اشتق معادلات لاوي واستنتج قانون براك من هذه المعادلات.
9. بيان كيف ان سعة الاشعة السينية المنشطة من ذرة محددة لا تساوي السعة من الاليكترون مضروب ببوساطة Z (عدد الاليكترونات في تلك الذرة). اشتق علاقة

الفصل الثاني

بالنسبة للعامل الذي يستبدل Z في مثل هذه الحالة. هل لا يدعى عامل التركيب أو عامل التشتيت؟

10. جد عامل التركيب الهندسي لبلورة مكعب مركز الاوجه (جميع ذراتها متماثلة). أي من انعكاسات الاشعة السينية التالية سيكون موجوداً بهذه البلورة: (100)، (110)، (111)، (200)، (220)، (222)، (221)، (223)، (123)، (400).

الجواب: الانعكاسات موجودة عند: (111)، (200)، (220)، (222)، (400).

11. اشتق علاقه عامل التركيب الذري. وبين ما هي القواعد التي يلعبها في دراسة حيود الاشعة السينية؟ اشتق معادلات لاوي لحيود الاشعة السينية بوساطة البلورات.

12. احسب عامل التركيب الهندسي لشبكة مكعب مركز الجسم. قم بتسمية بعض المستويات المهمة التي تتلاشى من طيف حيود الاشعة السينية لبلورة مكعب مركز الجسم.

13. مالقصد بالشبكة المقلوبة؟ احسب الشبكة المقلوبة لشبكة مكعب مركز الاوجه المباشرة. مالقصد بمنطقة برليون الاولى؟

14. ناقش خواص الشبكة المقلوبة. وما هي فوائدها؟ وضح مفهوم مناطق برليون.

15. ما هو بناء ايوالد؟ كيف يساعدنا في تفسير صور حيود الاشعة السينية؟

16. بين ان تركيب المكعب البسيط هو مقلوب نفسه. وان الشبكة المقلوبة لشبكة مكعب مركز الجسم هي شبكة مكعب مركز الاوجه. وان شبكة مكعب مركز الجسم هي الشبكة المقلوبة لمكعب مركز الاوجه.

17. احسب مناطق برليون الثلاثة الاولى لشبكة مربعة ببعدين واثبت ان كل منطقة تمتلك المساحة نفسها.

18. صف طريقة المسحوق في ايجاد تركيب البلورة. لماذا تكون هذه الطريقة اكثر ملائمة من طرق حيود الاشعة السينية الخرى؟

19. اثبت ان متجه في الشبكة المقلوبة $\bar{r}^* = h'\bar{a}^* + k'\bar{b}^* + l'\bar{c}^*$ يكون عمودي على مستوى $(hk\ell)$ لشبكة مباشرة، اذا ان $h' = nh$ و $k' = nk$ و $l' = nl$ و n اي عدد صحيح.

حيود الاشعة السينية في البلورات والشبكة المقلوبة

20. اثبت ان طول متجه الشبكة المقلوبة $\vec{r}_{h'k'l'}^* = n / d_{h'k'l'}$.
21. أثبت ان حجم وحدة الخلية في الشبكة المقلوبة يكون مقلوب حجم وحدة الخلية في الشبكة المباشرة.
22. حزمة نيوترونات طاقتها 0.083 eV تشتت من عينة غير معروفة. وشوهد انعكاس رتبة اولى عند زاوية $22^\circ = \theta$. ما هي المسافة البينية بين مستويات هذه العينة. اذا كان المستوى الذي حصل عنده الانعكاس (220)، فما هي المسافة البينية بين الذرات.
23. سقطت حزمة نيوترونات على بلورة ملح الطعام. المسافة البينية بين سطوحها 2.81 \AA° وعانت حيود رتبة اولى عند الزاوية $20^\circ = \theta$. ما طاقة الحزمة؟
24. اشعة سينية احادية الطول الموجي سقطت على بلورة مكعب ثابت الشبكة لها $a = 5.78 \text{ \AA}^\circ$. اذا حدث انعكاس الرتبة الاولى من المستوى (111) عند الزاوية $\phi = 2\theta = 26^\circ 40'$. احسب الطول الموجي للحزمة الساقطة.
25. سقطت اشعة سينية طولها الموجي 0.71 \AA° على بلورة ملح الطعام. احسب زاوية انعكاس الرتبة الاولى من المستويات (100)، (110)، (111) اذا علمت ان $d_{100} = 2.84 \text{ \AA}^\circ$.

